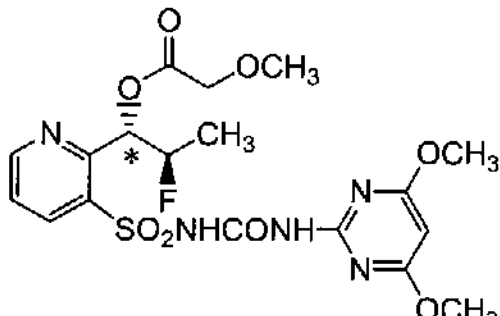


## 9.1 動物代謝

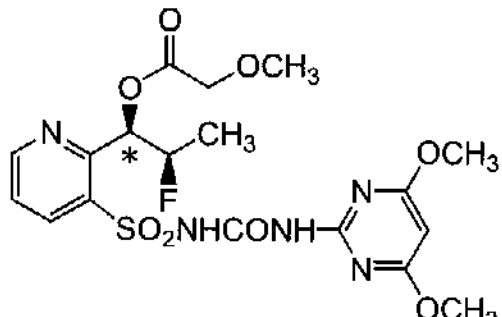
### 9.1.1 ラットにおける代謝 (資料 No. M-1.1)

試験機関 Huntingdon Life Sciences Ltd.  
報告書作成年 2006 年 [GLP 対応]

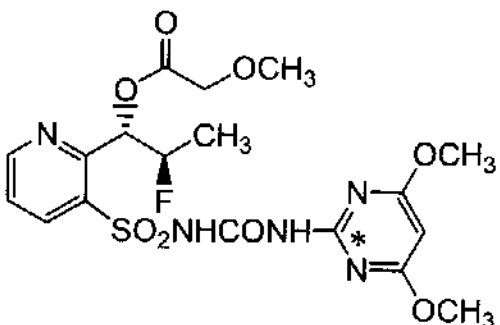
#### 供試標識化合物



[ $\alpha$ -<sup>14</sup>C-Py]erythro-フルセトスルフロン



[ $\alpha$ -<sup>14</sup>C-Py]threo-フルセトスルフロン



[2-<sup>14</sup>C-Pm]erythro-フルセトスルフロン

\* : 標識位置

化学名 : *N*-[(4,6-dimethoxy-2-pyrimidinyl)amino]carbonyl]-2-[2-fluoro-1-(methoxymethylcarbonyloxy)propyl]-3-pyridinesulfonamide

ロット No. :

比放射能 :

放射化学的純度 :

標識位置の設定理由 :

#### 供試動物

Han Wistar 系ラット (HsdBr) Han:Wist) Harlan (UK)

雄： 投与時 7~11 週令、 体重 184~251 g

雌： 投与時 10~14 週令、 体重 157~210 g

#### 試験方法

飼育管理： 水 (胆汁排泄試験は 4% グルコースを含む) 及び飼料は自由に摂取させた。 最低 5 日間 飼化させたのち試験に供試した。 検体投与後、 ラットは、 排泄バランス及び胆汁排泄 試験についてはガラス製代謝ケージに、 組織分布、 全身オートラジオグラフィ及び血 液／血漿キネティクスの各試験についてはステンレス製ケージに入れ、 温度 21±2°C、 相対湿度 55±15% 及び 12 時間の明暗サイクルの室内に保った。 動物試験室は 1 時間 当たり約 15 回の新鮮な空気の入れ換えを行った。

投与溶液：  $^{14}\text{C}$  標識検体と非標識検体 (化学純度 ) を計画した比放射能となるように溶液 中で混合し、 溶媒を留去したのち、 1% (w/v) メチルセルロース水溶液に均一に再懸濁 することにより、 投与液を調製した。

投与方法： ラット体重 1 kg 当たり 5 mL の投与溶液を、 シリンジを用いて単回経口投与した。 投与量は低用量投与で 5 mg/kg、 及び高用量投与で 150 mg/kg とした。

用量設定根拠：

試験群： 試験群の構成を以下の表に示す。

試験名	標識	用量 (mg/kg)	群 数	群構成	採取試料及び 採取時点(時間)	屠殺時間 (時間)
血液／血漿 キネティクス	[ $\alpha$ -Py]erythro	5	3	$\sigma^4$ $\varphi 4$	血液／血漿 : 0, 0.25, 0.5, 1, 2, 3, 4, 6, 12, 24, 48,	120
		150	3		72, 96, 120	
	[ $\alpha$ -Py]threo	5	3			
排泄バランス (予備)	[ $\alpha$ -Py]erythro	5	1	$\sigma^1$ $\varphi 1$	尿 : 6, 24, 48, 72, 96, 120 糞, ケージ洗液 : 24, 48, 72,	120
	[2-Pm]erythro	5	1		96, 120 呼気 : 24, 48, 72	
排泄バランス	[ $\alpha$ -Py]erythro	5	1	$\sigma^4$ $\varphi 4$	尿 : 6, 24, 48, 72, 96, 120	120
		150	1		糞, ケージ洗液 : 24, 48, 72, 96, 120	
	[ $\alpha$ -Py]threo	5	1		組織 : 120	
組織分布	[ $\alpha$ -Py]erythro	5	4	$\sigma^4$ $\varphi 4$	各組織 : 0.5, 2, 24, 120*1	0.5, 2, 24, 120*1
		150	4		各組織 : 0.5, 3, 24, 120*1	0.5, 3, 24, 120*1
全身オート ラジオグラフ	[ $\alpha$ -Py]erythro	5	4	$\sigma^1$ $\varphi 1$	0.5, 2, 24, 120	0.5, 2, 24, 120
胆汁排泄	[ $\alpha$ -Py]erythro	5	1	$\sigma^3*2$ $\varphi 3*2$	胆汁 : 3, 6, 9, 12, 24, 48 尿, 粪 : 24, 48	48
		150	1		ケージ洗液, 肝臓, 消化管, カクハ : 48	

\*投与回数・経路は全て単回経口投与

\*1 排泄バランス試験の動物を使用

\*2 胆汁排泄試験は各群雌雄 5 匹ずつで試験を開始したが、一部の動物において手術からの完全な回復がみられないなどの理由で、データは各群 3 匹で示している。

申請者注 1) 日本国農林水産省ガイドライン『5. 局長通知別添「農薬の登録申請時に提出される試験成績の作成に係る指針」について』の動物体内運命試験 2-(2)項 (36 ページ)に『単回投与試験による被験物質等の血漿中濃度の半減期が 48 時間以上で、かつ器官又は組織中の被験物質等の半減期が血漿中濃度の半減期より明らかに長いことが示唆された場合等は蓄積性が予想されることから反復投与を行なうことが望ましい』とあるが、本試験はこれに該当しなかった為、反復投与試験を行なっていない。

### 血液／血漿キネティクス試験

#### 採取試料及び採取時点：

血液；全ての試験群で投与後 0.25, 0.5, 1, 2, 3, 4, 6, 12, 24, 48, 72, 96, 120 時間で採取した。

採取時点の詳細； 試験群 1；投与前, 1, 4, 24, 96 時間

試験群 2；0.25, 2, 6, 48, 120 時間

試験群 3；0.5, 3, 12, 72 時間

採取方法： 網床型ステンレスケージで飼育し、尾静脈よりヘパリン処理チューブに血液約 0.4 mL を採取した。血液の一部は放射能測定に用い、残りは遠心分離して血漿を採取した。

### 排泄バランス(予備)試験

#### 採取試料及び採取時点：

尿； 全ての試験群で投与後 6, 24, 48, 72, 96, 120 時間で採取

糞、ケージ洗液； 全ての試験群で投与後 24, 48, 72, 96, 120 時間で採取

呼気； 全ての試験群で投与後 24, 48, 72 時間で採取

#### 採取方法：

尿、糞； 代謝ケージで個体別飼育し、冷却した受器にて各試料を採取した。

呼気； 2-エトキシエタノール：エタノールアミン (3:1, v/v)を入れたトラップを 2 つ連続して代謝ケージに接続し、呼気を捕集した。

ケージ洗液； 代謝ケージを投与後 24 時間間隔で水洗浄し、洗液を採取した。

### 排泄バランス試験

#### 採取試料及び採取時点：

尿； 全ての試験群で投与後 6, 24, 48, 72, 96, 120 時間で採取

糞、ケージ洗液； 全ての試験群で投与後 24, 48, 72, 96, 120 時間で採取

組織； 全ての試験群において投与後 120 時間で採取

#### 採取方法：

尿、糞； 代謝ケージで個体別飼育し、冷却した受器にて各試料を採取した。

ケージ洗液； 代謝ケージを投与後 24 時間間隔で水洗浄し、洗液を採取した。

### 組織分布

採取時点：低用量投与群は、投与後 0.5, 2, 24, 120 時間、高用量投与群は投与後 0.5, 3, 24, 120 時間で採取

採取試料：下記組織及び臓器を採取した。

副腎、骨(大腿骨)、骨髓(大腿骨)、脳、精巣上体、脂肪(腹部)、消化管及び内容物、心臓、腎臓、肝臓、肺、筋肉(骨骼筋)、卵巣、脾臓、脳下垂体、前立腺、精巣、皮膚(毛を除く)、脾臓、精巣、甲状腺、子宮、カーカス

採取方法：試験群 4 群のうち、3 群は組織分布試験用動物として網床型ステンレスケージで飼育し、他の 1 群は排泄バランス試験の動物を使用したため、ガラス製代謝ケージで飼育

した。屠殺後解剖して、各組織及び臓器を採取した。

#### 全身オートラジオグラフ

採取時点：投与後 0.5, 2, 24, 120 時間で採取した。

採取試料：ラット個体

採取方法：網床型ステンレスケージで飼育し、屠殺した。

#### 胆汁排泄試験

採取試料及び採取時点：

胆汁； 全ての試験群において投与後 3, 6, 9, 12, 24, 48 時間で採取

尿、糞； 全ての試験群において投与後 24, 48 時間で採取

ケージ洗液； 全ての試験群において投与後 48 時間で採取

肝臓、消化管、カーカス； 全ての試験群において投与後 48 時間で採取

採取方法：胆管カニュレーションしたラットを代謝ケージで個体別飼育し、各試料を採取した。

胆汁； カニューレより採取した。消失胆汁の補充として、タウロコール酸ナトリウム／塩化ナトリウム溶液を胃に輸液した。

尿、糞； 冷却した受器にて各試料を採取した。

ケージ洗液； 代謝ケージを投与後 48 時間に水洗净し、洗液を採取した。

#### 分析法

各試料の放射能は下記の方法で測定した。

試 料	放射能の測定方法
血液	試料の一部をサンプルオキシダイザーで燃焼後、液体シンチレーション計数法 (LSC)で測定
血漿、尿、ケージ洗液、呼気トラップ溶液、胆汁	一部を採取して直接 LSC 測定
糞	適量の水を加えて均一化し、一部をサンプルオキシダイザーで燃焼後、LSC 測定
副腎、骨髓、卵巣、子宮、精巣上体、前立腺、脳下垂体、甲状腺	全量を組織溶解剤で可溶化後、LSC 測定
消化管及び内容物、肝臓、脾臓	はさみで細かく切断し、一部を採取して、サンプルオキシダイザーで燃焼後、LSC 測定
カーカス	水酸化ナトリウム水溶液／メタノール／Triton X-405 混合液 (6/3/1, v/v/v) で可溶化後、一部を採取して LSC 測定
全身オートラジオグラフ	ラットを凍結後、矢状切片標本を作製し、X 線フィルムに露出、現像し、オートラジオグラフを得た。オートラジオグラフは視覚的評価によった。

### 代謝物の分析、同定

分析試料を以下の表に示す。

分析試料	試験名	標識	用量 (mg/kg)	性別	試料
尿	排泄バランス	[ $\alpha$ -Py] <i>erythro</i>	5	$\sigma$	0~24 時間プール
			150		
		[ $\alpha$ -Py] <i>threo</i>	5	$\varphi$	
糞	排泄バランス	[ $\alpha$ -Py] <i>erythro</i>	5	$\sigma$	0~6, 6~24, 24~48, 48~72, 72~96, 96~120 時間
			5	$\sigma$	0~48 時間プール
			150		
	排泄バランス	[ $\alpha$ -Py] <i>threo</i>	5	$\varphi$	
		[ $\alpha$ -Py] <i>erythro</i>	5	$\sigma$	0~24, 24~48 時間
			5	$\varphi$	
胆汁	胆汁排泄	[ $\alpha$ -Py] <i>erythro</i>	5	$\sigma$	0~48 時間プール
			150	$\varphi$	
血漿、腎臓、 肝臓、精巣	組織分布	[ $\alpha$ -Py] <i>erythro</i>	5	$\sigma$	30 分
			150	$\varphi$	

### 分析方法：

- 尿； · 試料を遠心し、上清を直接 HPLC 及び TLC で分析した。  
  · pH5 に調整後、 $\beta$ -グルクロニダーゼ／スルファターゼで酵素加水分解し、HPLC 及び TLC で分析した。
- 糞； アセトニトリルで 2 回、アセトニトリル：水混液 (1:1, v/v) で 1 回抽出し、上清を直接あるいは濃縮後、HPLC 及び TLC で分析した。
- 胆汁； · HPLC 及び TLC で分析した。  
  · pH5 に調整後、 $\beta$ -グルクロニダーゼ／スルファターゼで酵素加水分解し、HPLC 及び TLC で分析した。
- 血漿； 固相抽出法による処理後、TLC で分析した。
- 腎臓、肝臓、精巣；アセトニトリルで 2 回、アセトニトリル：水 (1:1, v/v) で 1 回抽出した液を遠心後、上清を TLC で分析した。

### 代謝物の特徴付け及び同定：

HPLC 及び TLC による合成代謝物標品とのクロマトグラフィとマススペクトロメトリー分析によって、化学的特徴付けあるいは同定を行った。

試験結果：

血液／血漿キネティクス試験：

血漿中の放射能濃度は全ての場合において、30分に最大となった。血漿中最大放射能濃度 ( $C_{max}$ )の値は雌よりも雄において少し高かった。 $[\alpha\text{-}^{14}\text{C-Py}]erythro$ -フルセトスルフロンを投与した場合、低用量投与群における  $C_{max}$  値は、雄で  $7.666 \mu\text{g-eq./g}$ 、雌で  $6.188 \mu\text{g-eq./g}$  であった。また、高用量投与群の  $C_{max}$  値は、雄で  $86.52 \mu\text{g-eq./g}$ 、雌で  $84.03 \mu\text{g-eq./g}$  であった。 $[\alpha\text{-}^{14}\text{C-Py}]threo$ -フルセトスルフロンの低用量投与群における  $C_{max}$  値は、 $erythro$  放射性標識化合物を投与した場合と比較して少し低く、雄で  $7.101 \mu\text{g-eq./g}$ 、雌で  $5.295 \mu\text{g-eq./g}$  であった。全てのグループにおいて、血漿中濃度は最高濃度に達した後、時間と共に二相性を示して減衰し、検出限界以上の放射能が測定された最終の時間は、低用量では48時間、高用量では24時間(雄)及び48時間(雌)であった。 $C_{max}$  及び血漿中放射能濃度時間曲線下面積 ( $AUC_{120}$ )は、投与量の増加に従い増加した。増加の程度は、投与量の増加割合(30倍)と比較して、 $C_{max}$ においては11.3～13.6倍と小さかったが、 $AUC_{120}$ については、25.2～32.8倍と概ね比例していた。 $AUC_{120}$ は、両投与量において雌の方が雄よりも低かった。また、 $AUC_{120}$ は、 $threo$  標識体に比べて、 $erythro$  標識体を投与した時の方が少し大きく、その比( $erythro$ 体/ $threo$ 体)は雄で1.1、雌で1.3であった。

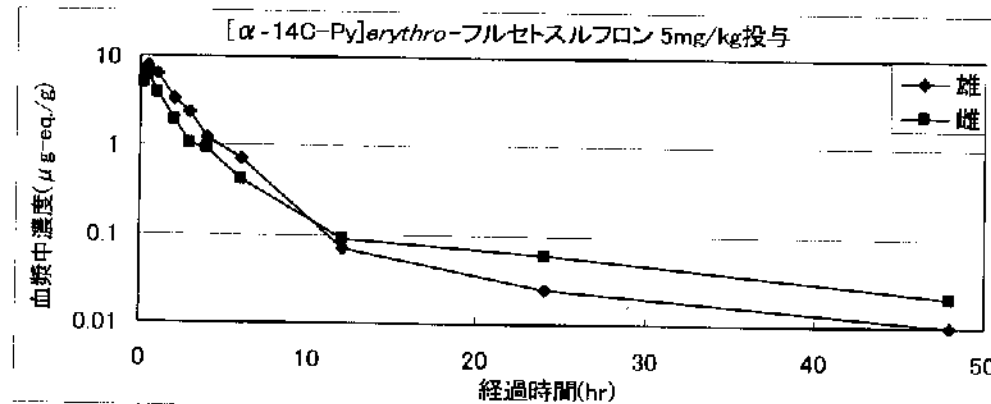
血液中の放射能濃度は、 $[\alpha\text{-}^{14}\text{C-Py}]erythro$ -フルセトスルフロン投与群のみ測定した。血液中放射能測定の場合の最大濃度 ( $C_{max}$ )は、高用量の雌で投与後1時間だったが、低用量及び高用量の雄では、血漿と同様30分であった。また、 $C_{max}$ が雌よりも雄で少し高かった点も、血漿の場合と同様であった。低用量投与群においては、 $C_{max}$ は雄で  $4.512 \mu\text{g-eq./g}$ 、雌で  $3.275 \mu\text{g-eq./g}$  であった。また、高用量投与群では、雄で  $50.45 \mu\text{g-eq./g}$ 、雌で  $47.69 \mu\text{g-eq./g}$  であった。血液中濃度は、最高濃度に達した後時間と共に減衰し、検出限界以上の放射能が測定された最終の時間は、低用量群では24時間(雄)及び72時間(雌)、高用量群では24時間であった。血液中の放射能濃度は、血漿中の濃度より低かった。放射能濃度時間曲線下面積 ( $AUC_{120}$ )を比較すると、血漿/血液の放射能比は、雄においては1.7(低用量)及び2.5(高用量)、雌においては1.8(両投与用量)であった。このことは、放射能が血球にはあまり入らないことを示唆している。血液中の  $C_{max}$  及び  $AUC_{120}$  と投与量との間の相関は、血漿における場合と概ね同様であった。

血漿中放射能濃度の経時的変化(各群4匹の平均値)及び薬物動態パラメータ

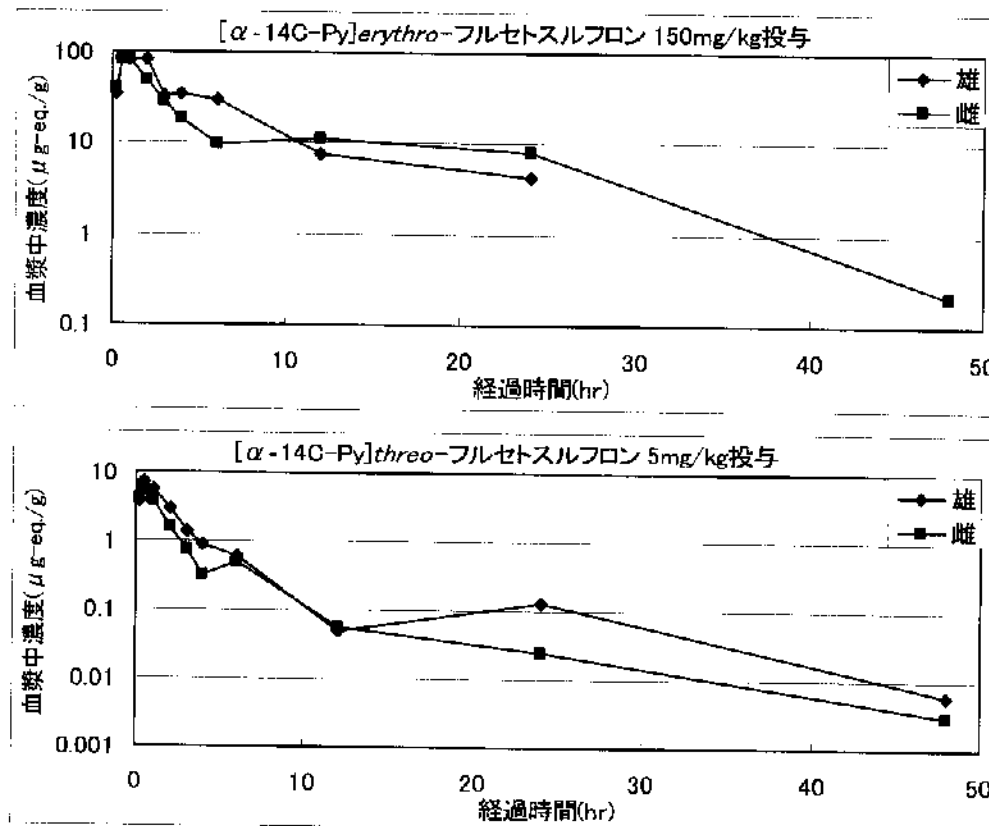
	[ $\alpha$ -Py]erythro			[ $\alpha$ -Py]threo		
	5mg/kg		150mg/kg		5mg/kg	
	♂	♀	♂	♀	♂	♀
採取時間(時間)	血漿中濃度( $\mu\text{g}\cdot\text{eq}/\text{g}$ )					
0.25	5.787	5.085	34.59	39.44	3.830	4.163
0.5	7.666	6.188	86.52	84.03	7.101	5.295
1	6.375	3.962	83.03	83.96	5.799	3.851
2	3.410	1.945	81.51	47.45	3.020	1.549
3	2.391	1.074	32.19	28.39	1.402	0.718
4	1.244	0.923	34.02	17.85	0.867	0.318
6	0.724	0.412	29.21	9.547	0.591	0.484
12	0.070	0.091	7.696	10.97	0.049	0.058
24	0.025	0.061	4.162	8.053	0.132	0.024
48	0.010	0.021	nd	0.205	0.006	0.003
72	nd	nd	nd	nd	nd	nd
96	nd	nd	0.330	0.415	nd	nd
120	nd	nd	nd	nd	nd	nd
薬物動態パラメータ						
$C_{\max}$ ( $\mu\text{g}\cdot\text{eq}/\text{g}$ )	7.666	6.188	86.52	84.03	7.101	5.295
$T_{\max}$ (時間)	0.5	0.5	0.5	0.5	0.5	0.5
$AUC_{120}$ ( $\mu\text{g}\cdot\text{eq}\cdot\text{hr}/\text{g}$ )	20.99	15.04	529.1	493.7	19.02	11.62
$t_{1/2}$ (時間)	13.4	16.8	6.5	6.9	5.9	8.4

nd : 検出限界以下

血漿中の放射能濃度推移



血漿中の放射能濃度推移 (続き)



血液中放射能濃度の経時的変化 (各群 4 匹の平均値)

採取時間 (時間)	[ $\alpha$ -Py]erythro			
	5mg/kg		150mg/kg	
	♂	♀	♂	♀
0.25	3.361	2.995	19.84	22.46
0.5	4.512	3.275	50.45	45.95
1	3.898	2.362	49.19	47.69
2	2.056	1.147	46.30	24.89
3	1.174	0.604	16.07	13.45
4	0.690	0.512	19.86	11.02
6	0.413	0.284	18.07	5.885
12	0.040	0.053	4.605	5.625
24	0.018	0.036	2.529	4.790
48	nd	0.005	nd	nd
72	nd	0.004	nd	nd
96	nd	nd	nd	nd
120	nd	nd	nd	nd

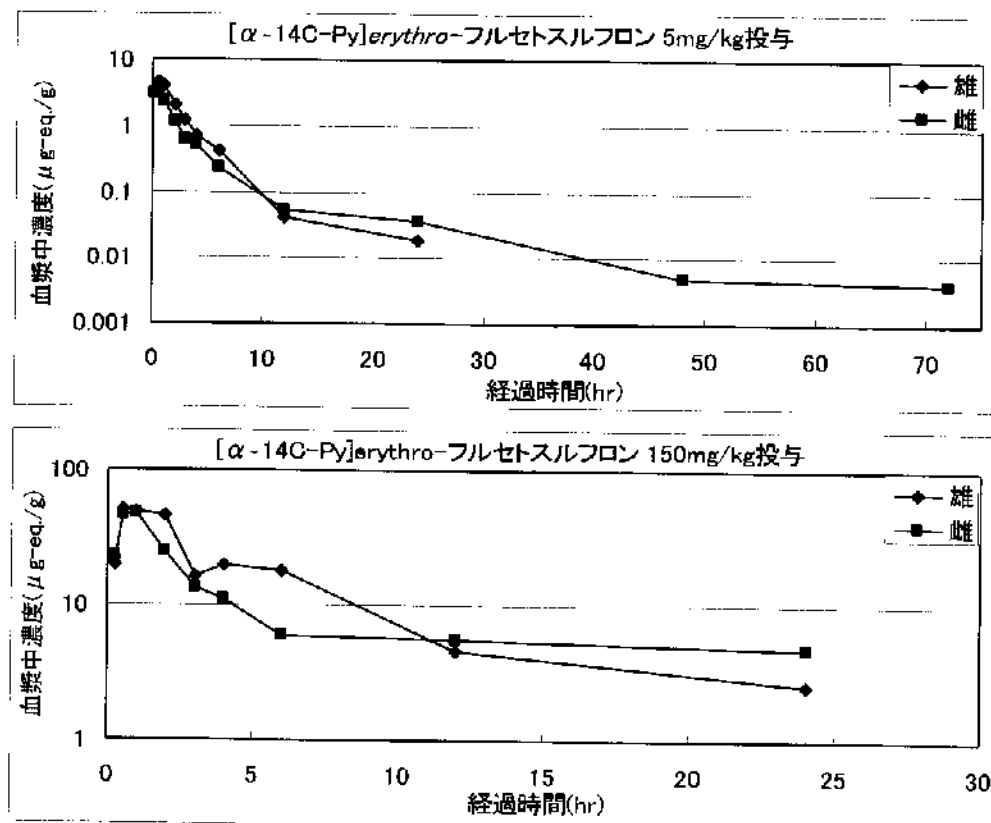
nd : 検出限界以下

血液中放射能の薬物動態パラメータ

	[ $\alpha$ -Py]erythro			
	5 mg/kg		150 mg/kg	
	♂	♀	♂	♀
薬物動態パラメータ				
C <sub>max</sub> ( $\mu\text{g}\text{-eq./g}$ )	4.512	3.275	50.45	47.69
T <sub>max</sub> (時間)	0.5	0.5	0.5	1
AUC <sub>120</sub> ( $\mu\text{g}\text{-eq.}\cdot\text{hr/g}$ )	12.06	8.544	213.2	273.9
t <sub>1/2</sub> (時間)	2.9	14.6	6.8	59.2

nd : 検出限界以下

血液中濃度推移



排泄バランス (予備)試験 :

[ $\alpha$ -<sup>14</sup>C-Py]erythro-フルセトスルフロン及び[ $2$ -<sup>14</sup>C-Pm]erythro-フルセトスルフロンの標識体を使用して、各群雌雄ラット 1匹ずつを用いて排泄バランスの予備試験を行った。この予備試験は低用量で行った。[ $\alpha$ -<sup>14</sup>C-Py]erythro-フルセトスルフロン投与における放射能の回収は、92.68% (雄)及び 80.57% (雌)であった。また、[ $2$ -<sup>14</sup>C-Pm]erythro-フルセトスルフロン投与においては、回収は 101.88% (雄)及び 96.57% (雌)であった。[ $\alpha$ -<sup>14</sup>C-Py]erythro-フルセトスルフロンを投与した雌ラットの回収が低かったのは、0~6 時間の尿試料放射能量分析時の損失によるものと考えられる。この投与群を除くと、各投与群において投与後最初の 24 時間以内に投与した放

射能の 89%以上が排泄された。主要排泄経路は尿であり、投与した放射能のうち、59.87~84.83%は尿中に排泄された。また糞中にも 14.70~24.92%が排泄された。呼気中には 72 時間後までに放射能は検出されなかった。従って、この他の試験では、呼気の採取は行わなかった。投与後 120 時間ににおけるカーカス中には検出可能な放射能は存在しなかった。雌雄間及び投与した放射性標識型の違いで、排泄パターンに大きな違いはなかった。

フルセトスルフロン低用量(5mg/kg)投与ラットにおける排泄バランス(投与量に対する%)

試料	採取時間	[ $\alpha$ -Py]erythro		[2-Pm]erythro	
		♂	♀	♂	♀
尿	0-6 時間	52.53	38.38	60.12	57.34
	6-24 時間	23.25	17.68	16.54	9.98
	24-48 時間	0.37	0.69	2.02	1.68
	48-72 時間	0.03	0.22	1.33	0.22
	72-96 時間	0.01	0.32	0.62	0.07
	96-120 時間	0.01	0.36	1.72	0.05
	小計	76.20	57.65	82.35	69.34
ケージ洗液	0-24 時間	1.63	1.82	1.67	1.88
	24-48 時間	0.10	0.05	0.23	0.19
	48-72 時間	0.01	0.04	0.24	0.09
	72-96 時間	0.01	0.07	0.09	0.03
	96-120 時間	0.03	0.24	0.25	0.12
	小計	1.78	2.22	2.48	2.31
糞	0-24 時間	14.03	13.87	14.04	22.28
	24-48 時間	0.60	6.56	2.61	2.35
	48-72 時間	0.04	0.15	0.19	0.22
	72-96 時間	0.02	0.08	0.17	0.05
	96-120 時間	0.01	0.04	0.04	0.02
	小計	14.70	20.70	17.05	24.92
呼気	0-24 時間	nd	nd	nd	nd
	24-48 時間	nd	nd	nd	nd
	48-72 時間	nd	nd	nd	nd
	小計	nd	nd	nd	nd
カーカス		nd	nd	nd	nd
総回収		92.68	80.57	101.88	96.57

nd : 検出限界以下

排泄バランス試験：

[ $\alpha$ -<sup>14</sup>C-Py]*erythro*-フルセトスルフロンを低用量で単回経口投与したラットにおける放射能の回収は、投与量の 97.99% (雄)及び 96.88% (雌)であった。主要な排泄経路は尿であり、尿中への排泄 (以下尿中への排泄の数値はケージ洗液を含む)は、投与量の 65.51% (雄)及び 74.29% (雌)であった。一方、糞中への排泄もある程度みられ、32.17% (雄)及び 22.45% (雌)であった。尿中に排泄された放射能のほとんどが、投与後 24 時間までに排泄され (雄；63.68%、雌；69.28%)、また糞中に排泄された放射能のほとんどが、投与後 48 時間までに排泄された (雄；29.68%、雌；21.75%)。投与後 120 時間の屠殺時において、採取した組織及び器官中の放射能は、投与量の 0.08% (雄)及び 0.02% (雌)であった。また、カーカス中の放射能は投与量の 0.27% (雄)及び 0.12% (雌)であった。

[ $\alpha$ -<sup>14</sup>C-Py]*erythro*-フルセトスルフロンを高用量で単回経口投与したラットにおける放射能の回収は、投与量の 94.96% (雄)及び 95.67% (雌)であった。低用量投与群と比較して、尿への排泄は少なく、糞への排泄が多かった。尿中への排泄は投与量の 60.22% (雄)及び 46.61% (雌)であった。一方、糞中への排泄は 34.69% (雄)及び 48.98% (雌)であった。尿中に排泄された放射能のほとんどが投与後 24 時間までに排泄され (雄；58.67%、雌；43.64%)、また糞中に排泄された放射能のほとんどが投与後 48 時間までに排泄された (雄；34.14%、雌；48.39%)。投与後 120 時間の屠殺時において、採取した組織及び器官中の放射能は、投与量の 0.01% (雌雄共)であった。また、カーカス中の放射能は、投与量の 0.04% (雄)及び 0.07% (雌)であった。

[ $\alpha$ -<sup>14</sup>C-Py]*threo*-フルセトスルフロンを低用量で単回経口投与したラットにおける放射能の回収は、投与量の 99.80% (雄)及び 99.10% (雌)であった。尿中への排泄は投与量の 74.62% (雄)及び 74.38% (雌)であった。一方、糞中への排泄は 25.04% (雄)及び 24.47% (雌)であった。この結果は、[ $\alpha$ -<sup>14</sup>C-Py]*erythro*-フルセトスルフロンを低用量で投与した場合と概ね同様であった。尿中に排泄された放射能のほとんどは投与後 24 時間までに排泄され (雄；72.68%、雌；70.27%)、糞中に排泄された放射能のほとんどは、投与後 48 時間までに排泄された (雄；24.16%、雌；23.70%)。投与後 120 時間の屠殺時において、採取した組織及び器官中の放射能は、投与量の 0.02% (雄)及び 0.01% (雌)であった。また、カーカス中の放射能は投与量の 0.13% (雄)及び 0.24% (雌)であった。これらの結果は、[ $\alpha$ -<sup>14</sup>C-Py]*erythro*-フルセトスルフロンの低用量投与群と、概ね同様であった。

本資料に記載された情報に係る権利及び内容の責任は石原産業株式会社にある。

フルセトスルフロン投与ラットにおける排泄バランス (各群 4 匹の平均値、投与量に対する%)

試料	採取時間	[ $\alpha$ -Py]erythro				[ $\alpha$ -Py]threo	
		低用量 (5 mg/kg)		高用量 (150 mg/kg)		低用量 (5 mg/kg)	
		♂	♀	♂	♀	♂	♀
尿	0-6 時間	45.79	57.97	27.42	22.30	52.67	50.36
	6-24 時間	16.97	9.01	30.17	19.89	18.86	16.24
	24-48 時間	0.58	3.58	0.99	1.88	0.44	2.31
	48-72 時間	0.18	0.32	0.16	0.33	0.15	0.37
	72-96 時間	0.15	0.31	0.13	0.16	0.34	0.14
	96-120 時間	0.06	0.10	0.04	0.10	0.39	0.15
	小計	63.73	71.29	58.89	44.66	72.84	69.55
ケージ洗液	0-24 時間	0.92	2.30	1.08	1.45	1.15	3.67
	24-48 時間	0.33	0.44	0.13	0.40	0.06	0.71
	48-72 時間	0.19	0.14	0.04	0.06	0.17	0.15
	72-96 時間	0.03	0.07	0.06	0.03	0.26	0.16
	96-120 時間	0.31	0.05	0.02	0.03	0.15	0.15
	小計	1.79	3.01	1.33	1.96	1.78	4.84
尿及びケージ洗液の合計		65.51	74.29	60.22	46.61	74.62	74.38
糞	0-24 時間	24.37	16.88	31.80	41.10	22.15	21.30
	24-48 時間	5.31	4.87	2.34	7.29	2.01	2.40
	48-72 時間	1.79	0.41	0.21	0.48	0.32	0.39
	72-96 時間	0.35	0.18	0.29	0.09	0.38	0.27
	96-120 時間	0.35	0.12	0.06	0.03	0.18	0.11
	小計	32.17	22.45	34.69	48.98	25.04	24.47
組織及び器官		0.03	0.02	0.01	0.01	0.02	0.01
カーカス		0.27	0.12	0.04	0.07	0.13	0.24
総回収		97.99	96.88	94.96	95.67	99.80	99.10

組織分布：  $[\alpha\text{-}^{14}\text{C-Py}]erythro$ -フルセトスルフロンを低用量で単回経口投与した後の放射能の組織分布は、雌雄の動物において概ね同様であった。濃度は一般に投与後 30 分において最も高かった。最も高い放射能濃度を示したのは、消化管及び内容物（雄；35.76  $\mu\text{g-eq./g}$ 、雌；36.23  $\mu\text{g-eq./g}$ ）、肝臓（雄；10.83  $\mu\text{g-eq./g}$ 、雌；15.43  $\mu\text{g-eq./g}$ ）及び腎臓（雄；8.819  $\mu\text{g-eq./g}$ 、雌；8.679  $\mu\text{g-eq./g}$ ）であった。投与後 30 分における血漿中放射能濃度は、7.440  $\mu\text{g-eq./g}$ （雄）及び 6.553  $\mu\text{g-eq./g}$ （雌）であった。組織中の放射能濃度は時間と共に急速に減少した。投与後 24 時間ににおいて、消化管中の濃度は 0.505  $\mu\text{g-eq./g}$ （雄）及び 1.148  $\mu\text{g-eq./g}$ （雌）であったが、その他の全ての組織においては 0.1  $\mu\text{g-eq./g}$  未満となった。投与後 120 時間になると、組織中濃度は多くの場合に検出限界以下となり、消化管が 0.009  $\mu\text{g-eq./g}$ （雄）及び 0.010  $\mu\text{g-eq./g}$ （雌）であったのを除き、0.004  $\mu\text{g}$  当量/g 未満であった。放射能濃度の組織／血漿の比は、消化管（内容物を含む）、腎臓及び肝臓を除き、ほとんどの組織及び採取時点で、これらの値は 1 未満であった。

$[\alpha\text{-}^{14}\text{C-Py}]erythro$ -フルセトスルフロンを高用量で単回経口投与した後の放射能の組織分布は、低用量の場合と同様に、雌雄の動物において概ね同様であった。濃度は一般的には投与後 30 分において最も高くなった。投与後 30 分において、最も高い放射能濃度を示したのは、消化管及び内容物（雄；1164  $\mu\text{g-eq./g}$ 、雌；1450  $\mu\text{g-eq./g}$ ）、肝臓（雄；76.44  $\mu\text{g-eq./g}$ 、雌；111.5  $\mu\text{g-eq./g}$ ）、腎臓（雄；89.58  $\mu\text{g-eq./g}$ 、雌；95.53  $\mu\text{g-eq./g}$ ）及び雄の精囊（112.0  $\mu\text{g}$  当量/g）であった。投与後 30 分における血漿中放射能濃度は、94.05  $\mu\text{g-eq./g}$ （雄）及び 92.23  $\mu\text{g-eq./g}$ （雌）であった。低用量の場合と同様に、組織中の放射能濃度は時間と共に急速に減少した。投与後 24 時間では、消化管中の濃度は 13.20  $\mu\text{g-eq./g}$ （雄）及び 29.87  $\mu\text{g-eq./g}$ （雌）であり、雌の肝臓が 1.541  $\mu\text{g-eq./g}$  であったことだけを除き、その他の全ての組織においては 1  $\mu\text{g-eq./g}$  未満となった。投与後 120 時間においては、組織中濃度は多くの場合に検出限界以下となり、検出できた組織においても、消化管（雄；0.083  $\mu\text{g-eq./g}$ 、雌；0.138  $\mu\text{g-eq./g}$ ）を除き、0.030  $\mu\text{g}$  当量/g 未満となった。放射能濃度の組織／血漿の比は、消化管（内容物を含む）、腎臓、肝臓、雄の骨髓及び精囊を除いて、これらの値は 1 未満であった。

[ $\alpha$ - $^{14}\text{C}$ -Py]erythro-フルセトスルフロン単回投与後の組織中の放射能濃度 (5mg/kg 投与)

(4 四の平均値、 $\mu\text{g-eq/g}$ )

組織	30 分		2 時間		24 時間		120 時間	
	♂	♀	♂	♀	♂	♀	♂	♀
副腎	1.808	1.337	0.922	0.478	0.014	0.007	nd	nd
骨	0.208	0.204	0.127	0.045	0.008	0.007	nd	nd
骨髄	1.644	1.347	0.892	3.521	nd	nd	nd	nd
脳	0.266	0.164	0.118	0.065	0.003	0.003	nd	nd
精巣上体	0.864	----	0.726	----	0.008	----	0.001	----
脂肪	0.472	0.370	0.259	0.193	nd	0.006	nd	nd
消化管及び内容物	35.76	36.23	20.59	20.10	0.505	1.148	0.009	0.010
心臓	2.102	1.583	0.876	0.522	0.007	0.009	0.002	nd
腎臓	8.819	8.679	4.093	3.186	0.020	0.043	0.001	0.001
肝臓	10.83	15.43	8.722	7.061	0.038	0.091	0.004	0.003
肺	2.440	2.204	1.162	0.762	0.010	0.017	0.002	nd
筋肉	0.734	0.552	0.335	0.176	0.006	0.006	0.001	nd
卵巢	----	1.627	----	0.597	----	0.013	----	nd
脾臓	1.616	1.400	0.804	0.716	0.009	0.013	nd	nd
脳下垂体	nc	2.557	2.984	0.940	nd	nd	nd	nd
前立腺	5.700	----	5.931	----	0.011	----	0.004	----
精囊	4.467	----	0.694	----	0.012	----	nd	----
皮膚	1.510	1.183	0.750	0.448	0.015	0.013	0.002	0.001
脾臓	0.979	0.850	0.396	0.269	0.006	0.009	nd	nd
精巣	0.542	----	0.701	----	0.006	----	nd	----
甲状腺	4.181	4.095	1.543	2.137	0.071	0.047	nd	nd
子宮	----	1.121	----	0.493	----	0.013	----	0.001
カーカス	0.165	0.127	0.097	0.035	0.008	0.011	0.003	0.001
血漿	7.440	6.553	3.625	2.153	0.014	0.031	nd	nd
血球	nd	nd	nd	nd	0.005	0.003	nd	nd
血液	4.428	3.834	2.054	1.246	0.011	0.021	nd	nd

nd : 検出限界以下

nc : 試料重量測定値異常の為、算出不可能

[ $\alpha$ - $^{14}\text{C}$ -Py]crythro-フルセトスルフロン単回投与後の組織内分布 (5 mg/kg 投与)

(4匹の平均値、投与量に対する%)

組織	30分		2時間		24時間		120時間	
	♂	♀	♂	♀	♂	♀	♂	♀
副腎	0.01	0.01	<0.01	<0.01	<0.01	<0.01	nd	nd
骨 <sup>a</sup>	0.22	0.22	0.13	0.05	0.01	0.01	nd	nd
骨髓 <sup>a</sup>	0.11	0.09	0.06	0.24	nd	nd	nd	nd
脳	0.05	0.03	0.02	0.01	<0.01	<0.01	nd	nd
精巣上体	0.03	----	0.02	----	<0.01	----	<0.01	----
脂肪 <sup>a</sup>	0.65	0.52	0.35	0.28	nd	0.01	nd	nd
消化管及び内容物	63.03	58.71	33.73	34.34	1.03	2.14	0.02	0.02
心臓	0.15	0.12	0.06	0.03	<0.01	<0.01	<0.01	nd
腎臓	1.23	1.30	0.61	0.46	<0.01	0.01	<0.01	<0.01
肝臓	8.75	10.95	7.19	5.34	0.03	0.07	<0.01	<0.01
肺	0.22	0.23	0.11	0.08	<0.01	<0.01	<0.01	nd
筋肉 <sup>a</sup>	6.48	4.94	2.93	1.59	0.05	0.06	0.01	nd
卵巣	----	0.02	----	0.01	----	<0.01	----	nd
脾臓	0.07	0.09	0.05	0.04	<0.01	<0.01	nd	nd
脳下垂体	nc	<0.01	<0.01	<0.01	nd	nd	nd	nd
前立腺	0.08	----	0.09	----	<0.01	----	<0.01	----
精嚢	0.17	----	0.03	----	<0.01	----	nd	----
皮膚 <sup>a</sup>	5.27	4.18	2.59	1.60	0.05	0.05	0.01	0.01
脾臓	0.04	0.04	0.03	0.01	<0.01	<0.01	nd	nd
精巣	0.13	----	0.18	----	<0.01	----	nd	----
甲状腺	<0.01	<0.01	<0.01	<0.01	<0.01	<0.01	nd	nd
子宮	----	0.06	----	0.02	----	<0.01	----	<0.01
カーカス	17.32	14.93	10.05	4.21	0.90	1.37	0.27	0.12
血漿 <sup>a</sup>	5.78	5.16	2.79	1.71	0.01	0.03	nd	nd
血球 <sup>a</sup>	nd	nd	nd	nd	<0.01	<0.01	nd	nd
血液 <sup>a</sup>	6.01	5.28	2.77	1.73	0.01	0.03	nd	nd
合計 <sup>b</sup>	97.29	91.77	54.94	46.28	1.97	3.62	0.29	0.14

nd : 検出限界以下

nc : 試料重量測定値異常の為、算出不可能

a : 体重あたりの組織重量%値から算出した：骨；5.46%、骨髓；0.35%、脂肪；7.1%、筋肉；45.5%、皮膚；18%、血漿；4%、血球；3%、血液；7%

b : 合計には、骨、骨髓、脂肪、筋肉、皮膚、血漿及び血球の数値は加算していない。

本資料に記載された情報に係る権利及び内容の責任は石原産業株式会社にある。

[ $\alpha$ -<sup>14</sup>C-Py]erythro-フルセトスルフロン単回投与後の放射能濃度の組織／血漿比 (5 mg/kg 投与)

(4匹の平均値)

組織	30分		2時間		24時間	
	♂	♀	♂	♀	♂	♀
副腎	0.242	0.205	0.256	0.220	0.962	0.157
骨	0.030	0.031	0.037	0.021	0.640	0.242
骨髄	0.222	0.206	0.249	1.53	nc	nc
脳	0.039	0.025	0.032	0.030	0.185	0.123
精巣上体	0.115	---	0.196	---	0.570	---
脂肪	0.064	0.057	0.076	0.088	nc	0.156
消化管及び内容物	4.99	5.55	5.85	9.37	37.2	45.0
心臓	0.285	0.243	0.243	0.242	0.466	0.279
腎臓	1.19	1.32	1.15	1.50	1.48	1.40
肝臓	1.46	2.37	2.47	3.34	2.74	2.97
肺	0.329	0.337	0.324	0.352	0.691	0.545
筋肉	0.099	0.084	0.098	0.083	0.416	0.201
卵巢	---	0.248	---	0.276	---	0.414
脾臓	0.207	0.217	0.226	0.327	0.632	0.425
脳下垂体	nc	0.399	0.991	0.452	nc	nc
前立腺	0.755	---	1.54	---	0.758	---
精巣	0.705	---	0.187	---	0.903	---
皮膚	0.204	0.182	0.210	0.208	1.07	0.446
脾臓	0.132	0.130	0.111	0.125	0.448	0.286
精巣	0.073	---	0.194	---	0.401	---
甲状腺	0.591	0.600	0.422	1.19	5.23	1.21
子宮	---	0.172	---	0.224	---	0.422
カーカス	0.023	0.020	0.027	0.016	0.615	0.412
血球	nc	nc	nc	nc	0.311	0.161
血液	0.596	0.586	0.568	0.578	0.746	0.683

nc : 試料重量測定値異常または検出限界以下ため、算出不可能

投与後 120 時間後の動物においては、血漿中濃度が検出限界以下であったため、計算不能であった。

[ $\alpha$ - $^{14}\text{C}$ -Py]erythro-フルセトスルフロン単回投与後の組織中の放射能濃度 (150 mg/kg 投与)

(4匹の平均値、 $\mu\text{g-eq/g}$ )

組織	30分		3時間		24時間		120時間	
	♂	♀	♂	♀	♂	♀	♂	♀
副腎	17.96	13.17	9.514	4.412	nd	0.112	nd	nd
骨	4.098	3.336	2.432	0.968	nd	0.076	nd	nd
骨髓	43.30	36.53	nc	5.324	0.791	nd	nd	nd
脳	2.838	2.573	1.739	0.951	0.082	0.060	nd	nd
精巣上体	17.70	---	10.56	---	0.167	---	nd	---
脂肪	7.503	5.302	8.530	1.440	nd	0.048	nd	nd
消化管及 び内容物	1164	1450	977.8	935.3	13.20	29.87	0.083	0.138
心臓	25.28	22.22	12.76	4.718	0.175	0.243	nd	nd
腎臓	89.58	95.53	46.27	17.86	0.565	0.629	nd	nd
肝臓	76.44	111.5	48.04	41.62	0.883	1.541	0.030	nd
肺	30.06	29.80	16.16	6.133	0.207	0.308	nd	nd
筋肉	9.286	7.948	4.762	1.964	0.117	0.116	nd	nd
卵巣	---	17.88	---	5.123	---	0.198	---	nd
脾臓	19.71	15.43	20.49	5.249	0.147	0.255	nd	nd
脳下垂体	26.23	24.78	13.80	5.957	nd	nd	nd	nd
前立腺	40.77	---	27.01	---	0.140	---	nd	---
精嚢	112.0	---	nc	---	0.166	---	nd	---
皮膚	17.35	15.05	10.04	4.457	0.785	0.255	nd	nd
脾臓	14.09	13.84	6.635	3.470	0.084	0.105	nd	nd
精巣	7.699	---	9.717	---	0.157	---	nd	---
甲状腺	19.22	28.44	21.28	5.525	nd	nd	nd	nd
子宮	---	19.09	---	4.944	---	0.256	---	nd
カーカス	2.242	1.360	1.863	0.618	0.134	0.280	0.010	0.015
血漿	94.05	92.23	43.72	19.24	0.425	0.572	nd	nd
血球	0.235	1.767	0.696	0.062	0.145	0.155	nd	nd
血液	59.25	57.20	26.94	11.99	0.319	0.411	nd	nd

nd : 検出限界以下

nc : 試料重量測定値異常の為、算出不可能

[ $\alpha$ -<sup>14</sup>C-Py]erythro-フルセトスルフロン単回投与後の組織内分布 (150 mg/kg 投与)

(4 匹の平均値、投与量に対する%)

組織	30 分		3 時間		24 時間		120 時間	
	♂	♀	♂	♀	♂	♀	♂	♀
副腎	<0.01	<0.01	<0.01	<0.01	nd	<0.01	nd	nd
骨 <sup>a</sup>	0.16	0.12	0.09	0.04	nd	0.01	nd	nd
骨髓 <sup>a</sup>	0.11	0.09	nc	0.01	<0.01	nd	nd	nd
脳	0.02	0.02	0.01	0.01	<0.01	<0.01	nd	nd
精巣上体	0.02	---	0.02	---	<0.01	---	nd	---
脂肪 <sup>a</sup>	0.87	0.26	0.41	0.07	nd	<0.01	nd	nd
消化管及び内容物	79.16	81.12	61.00	59.76	0.92	1.89	0.01	0.01
心臓	0.06	0.05	0.03	0.01	<0.01	<0.01	nd	nd
腎臓	0.48	0.50	0.24	0.10	<0.01	<0.01	nd	nd
肝臓	2.39	3.00	1.35	1.20	0.03	0.04	<0.01	nd
肺	0.11	0.11	0.05	0.02	<0.01	<0.01	nd	nd
筋肉 <sup>a</sup>	2.94	2.49	1.49	0.62	0.04	0.04	nd	nd
卵巣	---	0.01	---	<0.01	---	<0.01	---	nd
脾臓	0.04	0.03	0.04	0.01	<0.01	<0.01	nd	nd
脳下垂体	<0.01	<0.01	<0.01	<0.01	nd	nd	nd	nd
前立腺	0.02	---	0.01	---	<0.01	---	nd	---
精囊	0.11	---	nc	---	<0.01	---	nd	---
皮膚 <sup>a</sup>	2.17	1.86	1.24	0.56	0.10	0.03	nd	nd
脾臓	0.02	0.02	0.01	<0.01	<0.01	<0.01	nd	nd
精巣	0.07	---	0.09	---	<0.01	---	nd	---
甲状腺	<0.01	<0.01	<0.01	<0.01	nd	nd	nd	nd
子宮	---	0.03	---	0.01	---	<0.01	---	nd
カーカス	8.07	5.79	6.63	2.49	0.48	1.11	0.04	0.07
血漿 <sup>a</sup>	2.62	2.54	1.20	0.53	0.01	0.02	nd	nd
血球 <sup>a</sup>	0.01	0.04	0.02	<0.01	<0.01	<0.01	nd	nd
血液 <sup>a</sup>	2.88	2.75	1.30	0.58	0.02	0.02	nd	nd
合計 <sup>b</sup>	93.45	93.43	71.16	64.19	1.45	3.06	0.05	0.08

nd : 検出限界以下

nc : 試料重量測定値異常の為、算出不可能

a : 次に示す体重あたりの組織重量%値から算出した：骨；5.46%、骨髓；0.35%、脂肪；7.1%、筋肉；45.5%、皮膚；18%、血漿；4%、血球；3%、血液；7%

b : 合計には、骨、骨髓、脂肪、筋肉、皮膚、血漿及び血球の数値は加算していない。

[ $\alpha$ -<sup>14</sup>C-Py]erythro-フルセトスルフロン単回投与後の放射能濃度の組織／血漿比 (150 mg/kg 投与)

(4匹の平均値)

組織	30分		3時間		24時間	
	♂	♀	♂	♀	♂	♀
副腎	0.190	0.143	0.203	0.229	nc	0.144
骨	0.043	0.037	0.051	0.053	nc	0.137
骨髄	0.444	0.385	nc	0.277	2.21	nc
脳	0.030	0.028	0.041	0.050	0.202	0.098
精巣上体	0.186	---	0.235	---	0.424	---
脂肪	0.079	0.058	0.160	0.079	nc	0.062
消化管及び内容物	12.5	16.2	25.1	51.7	31.4	49.8
心臓	0.269	0.242	0.295	0.246	0.442	0.452
腎臓	0.960	1.05	1.01	0.925	1.40	1.06
肝臓	0.814	1.22	1.17	2.22	2.11	2.68
肺	0.318	0.323	0.381	0.318	0.501	0.532
筋肉	0.099	0.087	0.110	0.103	0.289	0.203
卵巣	---	0.195	---	0.271	---	0.350
脾臓	0.209	0.171	0.438	0.271	0.363	0.429
脳下垂体	0.279	0.262	0.332	0.312	nc	nc
前立腺	0.419	---	0.777	---	0.415	---
精囊	1.09	---	nc	---	0.414	---
皮膚	0.184	0.163	0.228	0.227	1.97	0.456
脾臓	0.149	0.144	0.155	0.188	0.163	0.169
精巣	0.082	---	0.226	---	0.386	---
甲状腺	0.206	0.303	0.445	0.288	nc	nc
子宮	---	0.202	---	0.260	---	0.437
カーラス	0.024	0.015	0.045	0.032	0.326	0.544
血球	0.002	0.017	0.023	0.004	0.373	0.260
血液	0.630	0.618	0.621	0.625	0.762	0.715

nc：試料重量測定値異常または検出限界以下そのため、算出不可能

投与後 120 時間後の動物においては、血漿中濃度が検出限界以下であったため、計算不能であった。

全身オートラジオグラフ：

[ $\alpha$ -<sup>14</sup>C-Py]erythro-フルセトスルフロンを低用量で単回経口投与した時の放射能分布の定性的評価を、全身オートラジオグラフィを用いて行った。投与後 30 分において、放射能は全ての組織及び器官にわたって分布しており、消化管、膀胱及び心臓中の血液に最も高いレベルで存在していた。2 時間後になると、放射能レベルは少し低くなつたが、まだ全身に分布していた。投与後 24 時間には、消化管及び膀胱にかなりのレベルの放射能が存在しているだけとなり、120 時間後になると、放射能は全身を通じて視覚的にはほとんど検出不能となった。

胆汁排泄試験：

[ $\alpha$ -<sup>14</sup>C-Py]erythro-フルセトスルフロンを低用量で胆管カニュレーションしたラットに単回経口投与した場合の放射能の回収は、投与量の 92.73% (雄)及び 93.22% (雌)であった。胆汁中への排泄量は投与量の 9.95% (雄)及び 8.15% (雌)であった。また尿中への排泄量は投与量の 71.21% (雄)及び 72.10% (雌)であり、糞中への排泄量は投与量の 10.98% (雄)及び 10.82% (雌)であった。投与後 48 時間の屠殺時において、カーカス、肝臓及び消化管 (内容物を含む)中の放射能の合計は、投与量の 0.59% (雄)及び 2.15% (雌)であった。吸収率は胆汁、尿、ケージ洗液、肝臓及びカーカスの放射能量を合計することで求め、雄においては投与量の 81.45%、雌においては 81.47% であった。

[ $\alpha$ -<sup>14</sup>C-Py]erythro-フルセトスルフロンを高用量で胆管カニュレーションしたラットに単回経口投与した場合の放射能の回収は、投与量の 97.57% (雄)及び 98.90% (雌)であった。胆汁中への排泄量は 10.28% (雄)及び 11.04% (雌)であった。また尿中への排泄量は投与量の 59.42% (雄)及び 60.99% (雌)であり、糞中への排泄量は 26.69% (雄)及び 21.73% (雌)であった。投与後 48 時間の屠殺時において、カーカス、肝臓及び消化管 (内容物を含む)中の放射能の合計は、投与量の 1.18% (雄)及び 5.14% (雌)であった。吸収率は、高用量投与群では、低用量投与群よりも少し低くなり、雄において投与量の 70.24%、雌において 73.02% であった。

胆汁中への排泄量が少なかったことから、フルセトスルフロンの動物体内での動態において、腸肝循環の寄与は、あるとしても小さいものであると示唆される。このことは、投与後 48 時間までに放射能が急速に排泄され、かつ定量的な回収がなされていることによっても示されていると考えられる。

[ $\alpha$ - $^{14}\text{C}$ -Py]erythro-フルセトスルフロン投与したラットにおける

胆汁排泄 (各群 3 匹の平均値、投与量に対する%)

試料	採取時間	低用量 (5 mg/kg)		高用量 (150 mg/kg)	
		♂	♀	♂	♀
尿	0-24 時間	67.07	67.14	49.20	50.98
	24-48 時間	2.49	2.89	5.87	6.81
	小計	69.56	70.02	55.07	57.79
ケージ洗液	0-48 時間	1.65	2.08	4.35	3.20
尿及びケージ洗液の合計		71.21	72.10	59.42	60.99
胆汁	0-3 時間	5.50	6.15	3.32	2.80
	3-6 時間	2.11	1.24	1.99	1.48
	6-9 時間	1.01	0.35	1.47	1.16
	9-12 時間	0.63	0.24	1.25	1.07
	12-24 時間	0.61	0.16	1.85	2.94
	24-48 時間	0.09	0.01	0.40	1.60
	小計	9.95	8.15	10.28	11.04
糞	0-24 時間	9.19	7.78	23.00	19.53
	24-48 時間	1.79	3.04	3.69	2.20
	小計	10.98	10.82	26.69	21.73
肝臓		0.01	0.01	0.01	0.10
消化管及び内容物		0.30	0.93	0.64	4.15
カーカス		0.28	1.21	0.53	0.89
総回収		92.73	93.22	97.57	98.90
吸収率*		81.45	81.47	70.24	73.02

\* : 吸収率 = 尿(小計) + ケージ洗液 + 胆汁(小計) + 肝臓 + カーカス

本資料に記載された情報に係る権利及び内容の責任は石原産業株式会社にある。

代謝物の分析、同定：

排泄バランス試験における尿中のフルセトスルフロン及び代謝物の分布

(0~24時間、投与量に対する%)

標識位置	[ $\alpha$ -Py]erythro				[ $\alpha$ -Py]threo	
	用量		低用量 (5 mg/kg)	高用量 (150 mg/kg)	低用量 (5 mg/kg)	
性	♂	♀	♂	♀	♂	♀
フルセトスルフロン(A)	0.1	0.3	0.1	0.1	0.1	0.2
試料中全放射能量	62.8	67.0	57.6	42.2	71.5	66.6

排泄バランス試験 ( $[\alpha\text{-}^{14}\text{C-Py}]erythro$ -フルセトスルフロン、低用量、雄)における  
採取時間ごとの糞中のフルセトスルフロン及び代謝物の分布 (投与量に対する%)

採取時間	0~6	6~24	24~48	48~72	72~96	96~120
フルセトスルフロン(A)	nd	nd	nd	<0.1	<0.1	nd
試料中全放射能量	45.8	17.0	0.6	0.2	0.2	0.1

nd : 検出限界以下

排泄バランス試験における糞中のフルセトスルフロン及び代謝物の分布  
(0~48 時間、投与量に対する%)

標識位置	$[\alpha\text{-Py}]erythro$			$[\alpha\text{-Py}]threo$		
	用量	低用量 (5 mg/kg)	高用量 (150 mg/kg)	性	♂	♀
フルセトスルフロン(A)	0.2	0.1	9.1	17.1	<0.1	<0.1
試料中全放射能量	27.3	19.9	32.2	46.4	20.9	21.3

本資料に記載された情報に係る権利及び内容の責任は石原産業株式会社にある。

排泄バランス試験 ( $[\alpha\text{-}^{14}\text{C-Py}]erythro$ -フルセトスルフロン、低用量、雄)における採取時間ごとの糞中のフルセトスルフロン及び代謝物の分布(投与量に対する%)

採取時間	0~24	24~48
フルセトスルフロン(A)	0.2	nd
試料中全放射能量	22.4	4.9

nd : 検出限界以下

胆汁排泄試験 ( $[\alpha\text{-}^{14}\text{C-Py}]erythro$ -フルセトスルフロン投与)における胆汁中のフルセトスルフロン及び代謝物の分布(0~48時間、投与量に対する%)

用量 性	低用量 (5 mg/kg)		高用量 (150 mg/kg)	
	♂	♀	♂	♀
フルセトスルフロン(A)	nd	nd	nd	nd
試料中全放射能量	10.0	8.2	10.3	11.0

nd : 検出限界以下

各組織中のフルセトスルフロン及び代謝物の分布

( $[\alpha\text{-}^{14}\text{C-Py}]erythro$ -フルセトスルフロン低用量 (5 mg/kg)投与 30 分後、雄ラット)

組織	血漿		腎臓		肝臓		精巣	
	$\mu\text{g-eq./g}$	%TRR	$\mu\text{g-eq./g}$	%TRR	$\mu\text{g-eq./g}$	%TRR	$\mu\text{g-eq./g}$	%TRR
抽出画分	5.974	80.3	8.546	96.9	10.84	95.5	0.538	99.2
フルセトスルフロン(A)	0.091	1.2	nd	nd	0.099	0.9	nd	nd
合計	7.440	100.0	8.819	100.0	10.83	100.0	0.542	100.0

nd : 検出限界以下

$\mu\text{g-eq./g}$  : 親化合物換算     %TRR : 組織中放射能の%

各組織中のフルセトスルフロン及び代謝物の分布

( $[\alpha\text{-}^{14}\text{C-Py}]erythro$ -フルセトスルフロン低用量 (5 mg/kg)投与 30 分後、雌ラット)

組織	血漿		腎臓		肝臓	
	$\mu\text{g-eq./g}$	%TRR	$\mu\text{g-eq./g}$	%TRR	$\mu\text{g-eq./g}$	%TRR
抽出画分	6.101	93.1	8.427	97.1	14.74	95.5
フルセトスルフロン(A)	0.128	1.9	nd	nd	0.218	1.4
合計	6.553	100.0	8.679	100.0	15.43	100.0

nd : 検出限界以下

$\mu\text{g-eq./g}$  : 親化合物換算     %TRR : 組織中放射能の%

本資料に記載された情報に係る権利及び内容の責任は石原産業株式会社にある。

各組織中のフルセトスルフロン及び代謝物の分布

( $[\alpha\text{-}^{14}\text{C-Py]}crythro$ -フルセトスルフロン高用量 (150 mg/kg)投与 30 分後、雄ラット)

組織	血漿		腎臓		肝臓		精巣	
	$\mu\text{g-eq./g}$	%TRR	$\mu\text{g-eq./g}$	%TRR	$\mu\text{g-eq./g}$	%TRR	$\mu\text{g-eq./g}$	%TRR
抽出画分	85.30	90.7	86.09	96.1	71.39	93.4	7.630	99.1
フルセトスルフロン(A)	4.640	4.9	nd	nd	2.927	3.6	0.457	5.9
合計	94.05	100.0	89.58	100.0	76.44	100.0	7.699	100.0

nd : 検出限界以下

$\mu\text{g-eq./g}$  : 親化合物換算 %TRR : 組織中放射能の%

各組織中のフルセトスルフロン及び代謝物の分布

( $[\alpha\text{-}^{14}\text{C-Py]}erythro$ -フルセトスルフロン高用量 (150 mg/kg)投与 30 分後、雌ラット)

組織	血漿		腎臓		肝臓	
	$\mu\text{g-eq./g}$	%TRR	$\mu\text{g-eq./g}$	%TRR	$\mu\text{g-eq./g}$	%TRR
抽出画分	90.39	98.0	92.38	96.7	104.8	94.0
フルセトスルフロン(A)	3.878	4.2	nd	nd	3.050	2.7
合計	92.23	100.0	95.53	100.0	111.5	100.0

nd : 検出限界以下

$\mu\text{g-eq./g}$  : 親化合物換算 %TRR : 組織中放射能の%

本資料に記載された情報に係る権利及び内容の責任は石原産業株式会社にある。

フルセトスルフロンのラットにおける想定代謝経路図

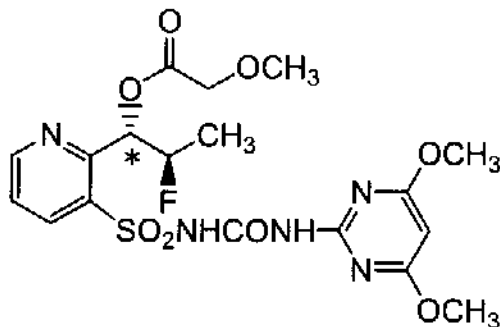
## 9.2 植物代謝

### 9.2.1 植物体内部命に関する試験

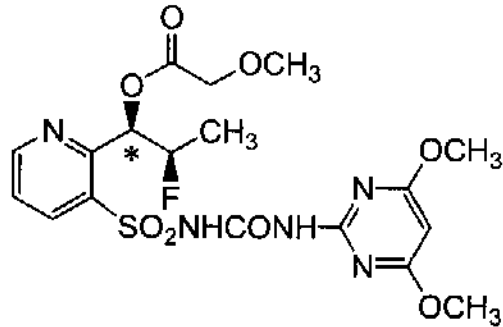
フルセトスルフロンの稻における代謝試験 (資料 No.M-2.1)

試験機関 Huntingdon Life Sciences Ltd.  
報告書作成年 2004 年 [GLP 対応]

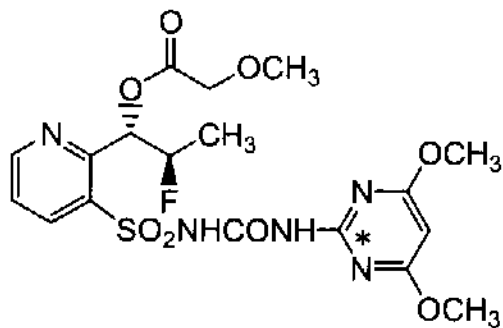
#### 供試標識化合物



[ $\alpha$ -<sup>14</sup>C-Py]*erythro*-フルセトスルフロン



[ $\alpha$ -<sup>14</sup>C-Py]*threo*-フルセトスルフロン



[2-<sup>14</sup>C-Pm]*erythro*-フルセトスルフロン

申請者注) 報告書には *erythro* 体及び *threo* 体の構造式が上記構造式の対掌体で記載されているが、本抄録では *erythro* 体及び *threo* 体の構造式を統一して記載しているため、上記構造式を記載した。

\* : 標識位置

化学名 : *N*-{[(4,6-dimethoxy-2-pyrimidinyl)amino]carbonyl}-2-[2-fluoro-1-(methoxymethylcarbonyloxy)propyl]-3-pyridinesulfonamide

ロット No. :

比放射能 :

放射化学的純度 :

標識位置の設定理由 :

供試植物 : 稲 [品種: ササニシキ]

本資料に記載された情報に係る権利及び内容の責任は石原産業株式会社にある。

栽培条件：温室内で栽培（育苗箱を25~28°Cの暗所に3日間置いた後）

昼間 25°C、夜間 15°C (15時間点灯)；育苗箱で3~4週間及び

40 cm×70 cm×40 cm 深の水槽に移し播種3ヶ月後までの間

昼間 27°C、夜間 20°C (15時間点灯)；播種約3ヶ月後から1ヶ月間

昼間 27°C、夜間 20°C (12時間点灯)；播種約4ヶ月後から

試験方法：

被験物質の製剤調製及び処理：

茎葉処理区：各<sup>14</sup>C-フルセトスルフロン2.2 mgをアセトニトリルに溶解し、2.2 mgの白試料に添加した。溶媒留去後、55 mLの水で懸濁し散布液を調製し、その約51 mLを2つの水槽にスプレー処理した。処理は4~6葉期に行った。

土壤処理区：各<sup>14</sup>C-フルセトスルフロン1.65 mgをアセトニトリルに溶解し、548.35 mgの白試料に添加した。溶媒留去後、50 gの風乾土壤に混ぜ、2つの水槽に均等になるよう処理を行った。処理は4~6葉期に行った。

処理量の設定根拠：

採取部位：

茎葉処理区：処理直後／葉部、根部、処理7日後／葉部、中間収穫／穂、根部、残りの植物体、  
収穫期／茎、根部、玄米、粉殻

土壤処理区：処理7日後／葉部、中間収穫／穂、根部、残りの植物体、  
収穫期／茎、根部、玄米、粉殻

根部採取時、土壤を水で洗い流し、その洗液は破棄した。

分析方法：葉部、茎はアセトニトリルで洗浄後、凍結しドライアイスと共に碎いた。その一部を採取し、燃焼法で放射能濃度を測定した。更に残りの一部にアセトニトリルを加え、ホモジナイザーで抽出を行った。遠心分離で上清と残渣に分けた。抽出はアセトニトリル(2回)、アセトニトリル／水(1:1, v/v)(1または2回)、更に必要に応じて水で抽出を繰り返した。

根部及び粉殻は、一部を採取しアセトニトリルを加え、ホモジナイザーで抽出を行った。遠心分離で上清と残渣に分けた。抽出はアセトニトリル(2回)、アセトニトリル／水(1:1, v/v)(2~3回)、更に水で(1または3回)抽出を繰り返した。

各抽出液は、参照標準品とのHPLC及びTLCでのクロマトグラフィーで代謝物の

同定を行った。

また、抽出残渣は、更に塩酸、水酸化ナトリウムで徹底した抽出を行った。

放射能測定：葉部、藁の表面洗浄液及び抽出液中の放射活性は、液体シンチレーションカウンター(LSC)により、葉部、藁の細断したもの及び抽出残渣中の放射活性は試料燃焼装置で燃焼後LSCにて測定した。

#### 試験結果：

##### 1) 放射能分布

茎葉処理後、葉の総残留放射能は、処理直後で1.29~2.12 ppm、処理7日後で1.12~1.31 ppmであった。残りの植物体では、中間の採取で0.037~0.039 ppmであった。藁においては、収穫期で0.118~0.226 ppmと僅かに値が上昇した。根部では、処理直後で0.002~0.011 ppmであったのに対し、収穫期で最大0.023 ppmと増加した。中間の採取での穂からは、0.002~0.004 ppm検出され、収穫期の玄米および糊殻から、各々0.004 ppm以下、0.006~0.015 ppm検出された。

表1 茎葉処理後(40 g a.i./ha)の各部の総残留放射能濃度

ppm (μg [フルセトスルフロン換算]/g 生重量)

標識	処理直後		処理7日		中間収穫(開花後)			収穫期			
	葉部	根部	葉部	穂	残りの植物体	根部	藁	根部	玄米	糊殻	
[α-Py]erythro	1.29	0.002	1.17	0.004	0.039	0.022	0.226	0.023	0.004	0.012	
[2-Pm]erythro	2.12	0.006	1.31	0.002	0.037	0.020	0.118	0.018	0.003	0.006	
[α-Py]threo	1.57	0.011	1.12	ns	ns	ns	0.191	0.017	0.004	0.015	

ns: 収穫せず

土壤(粒剤)処理後、葉中の総残留放射能は処理7日後で0.025~0.054 ppm検出された。中間に収穫された残りの植物体からは、0.006~0.023 ppm、収穫期の藁からは、0.032~0.108 ppmの範囲で検出された。根部においては、中間で採取されたものおよび収穫期で採取されたものから、0.030~0.039 ppm検出された。中間で採取された穂からは、0.002~0.005 ppm、収穫期で採取された玄米および糊殻からは、それぞれ0.004 ppm以下および0.005~0.015 ppm検出された。

表2 土壌処理後 (30 g a.i./ha)の各部の総残留放射能濃度

標識	処理7H	中間収穫			収穫期				ppm ( $\mu\text{g}$ [フルセトスルフロン換算]/g 生重量)
		葉部	穂	残りの植物体	根部	莢	根部	玄米	
[ $\alpha$ -Py]erythro	0.054	0.005		0.023	0.033	0.108	0.032	0.004	0.015
[2-Pm]erythro	0.025	0.002		0.006	0.034	0.032	0.030	0.003	0.005
[ $\alpha$ -Py]threo	0.043	ns		ns	ns	0.086	0.039	0.004	0.014

ns : 収穫せず

中間採取及び収穫期採取の試料の非抽出残留物が、10%TRR 以上 (0.05 ppm 以上)となった。更に弱い酸、弱いアルカリで室温下にて処理をし、必要に応じて強酸及び強アルカリでリフレックスさせたが、更なる抽出物は葉部及び莢で 0.005 ppm 以下であった。

## 2) 代謝

### 茎葉処理区 :

3 標識体の葉部及び莢中の主要成分は、未変化体のフルセトスルフロン(A)で、処理直後で 83.4 ~ 83.7%TRR (1.08~1.77 ppm)が検出され、その後、収穫期では 48.7~60.8%TRR (0.072~0.115 ppm)と減少した。

中間採取および収穫期で採取された

フルセトスルフロン(A)は最大 2.2%TRR (0.001 ppm)検出された。

本資料に記載された情報に係る権利及び内容の責任は石原産業株式会社にある。

表3 [ $\alpha$ -<sup>14</sup>C-Py]erythro-フルセトスルフロン 40 g a.i./ha 基葉処理後の代謝物濃度

収穫時期		直後			7日後			中間収穫(開花後)			収穫期				
部位		葉			葉			葉			茎				
ppm		表面 洗浄液	抽出	合計	表面 洗浄液	抽出	合計	表面 洗浄液	抽出	合計	表面 洗浄液	抽出	合計		
抽出可能放射能		0.822	0.449	1.27	0.886	0.270	1.16	0.015	0.022	0.037	0.017	0.082	0.127	0.209	0.015
フルセトスルフロン(A)		0.757	0.324	1.08	0.797	0.140	0.937	0.011	0.010	0.021	<0.001	0.073	0.037	0.110	0.001
酸/アルカリ抽出の合計		ns			ns			0.003			0.005	0.006			0.007
抽出残渣		0.019			0.014			<0.001			<0.001	0.011			0.001

\* ; 未同定代謝物の合計、( )内は最も残留のあった未同定代謝物の値

nd ; 未検出、 ns ; 酸/アルカリ抽出実施せず

表4 [ $\alpha$ -<sup>14</sup>C-Py]erythro-フルセトスルフロン 40 g a.i./ha 基葉処理後の代謝物分布率

収穫時期		直後			7日後			中間収穫(開花後)			%TRR(総回収放射能に対する%)				
部位		葉			葉			葉			根				
%TRR		表面 洗浄液	抽出	合計	表面 洗浄液	抽出	合計	表面 洗浄液	抽出	合計	表面 洗浄液	抽出	合計		
抽出可能放射能		63.7	34.8	98.5	75.7	23.1	98.8	37.4	57.4	94.8	77.8	36.3	56.3	92.6	65.4
フルセトスルフロン(A)		58.6	25.1	83.7	68.1	11.9	80.0	28.2	26.5	54.7	0.9	32.5	16.2	48.7	2.2
酸/アルカリ抽出の合計		ns			ns			5.2			20.6	2.5			32.1
抽出残渣		1.5			1.2			0.1			1.6	5.0			2.4

\* ; 上段は、未同定代謝物の合計、下段は最も残留のあった未同定代謝物の値、( )内は未同定代謝物の数

nd ; 未検出、 ns ; 酸/アルカリ抽出実施せず

本資料に記載された情報に係る権利及び内容の責任は石原産業株式会社にある。

表5 [2-<sup>14</sup>C-Pm]erythro-フルセトスルフロン 40 g a.i./ha 茎葉処理後の代謝物濃度

ppm (μg [フルセトスルフロン換算]/g 生重量)												
収穫時期	直後			7日後			中間収穫(開花後)			収穫期		
部位	葉			葉			葉			根		
ppm	表面 洗浄液	抽出	合計	表面 洗浄液	抽出	合計	表面 洗浄液	抽出	合計	表面 洗浄液	抽出	合計
抽出可能放射能	1.26	0.825	2.09	0.977	0.817	1.29	0.012	0.021	0.033	0.017	0.057	0.054
フルセトスルフロン(A)	1.18	0.592	1.77	0.879	0.153	1.03	0.010	0.010	0.020	0.001	0.051	0.021
酸/アルカリ抽出の合計	ns			ns			<0.001			0.002	0.001	
抽出残渣	0.034			0.016			0.004			0.001	0.006	

\* : 未同定代謝物の合計、( )内は最も残留のあった未同定代謝物の値

nd : 未検出、 ns: 酸/アルカリ抽出実施せず

表6 [2-<sup>14</sup>C-Pm]erythro-フルセトスルフロン 40 g a.i./ha 茎葉処理後の代謝物分布率

%TRR (総回収放射能に対する%)												
収穫時期	直後			7日後			中間収穫(開花後)			収穫期		
部位	葉			葉			葉			根		
%TRR	表面 洗浄液	抽出	合計									
抽出可能放射能	59.5	38.9	98.4	74.6	24.2	98.8	31.6	56.1	87.7	82.5	48.0	45.7
フルセトスルフロン(A)	55.6	27.9	83.5	67.1	11.7	78.8	26.9	26.3	53.2	6.5	42.9	17.9
酸/アルカリ抽出の合計	ns			ns			2.5			11.0	1.0	
抽出残渣	1.6			1.2			9.8			6.6	5.3	

\* : 上段は、未同定代謝物の合計、下段は最も残留のあった未同定代謝物の値、( )内は未同定代謝物の数

nd : 未検出、 ns: 酸/アルカリ抽出実施せず

表7 [ $\alpha$ -<sup>14</sup>C-Py]threo-フルセトスルフロン 40 g a.i./ha 莖葉処理後の代謝物濃度

収穫時期		直後			7日後			収穫期			
部位		葉			葉			茎		根	
ppm		表面 洗浄液	抽出	合計	表面 洗浄液	抽出	合計	表面 洗浄液	抽出	合計	
抽出可能放射能		1.05	0.512	1.56	0.861	0.243	1.10	0.078	0.101	0.179	0.009
フルセトスルフロン(A)		0.979	0.329	1.31	0.799	0.129	0.928	0.071	0.044	0.115	<0.001
酸/アルカリ抽出の合計		ns			ns			0.003			0.007
抽出残渣		0.008			0.016			0.008			0.001

\* ; 未同定代謝物の合計、( )内は最も残留のあった未同定代謝物の値

nd;未検出、 ns;酸/アルカリ抽出実施せず

表8 [ $\alpha$ -<sup>14</sup>C-Py]threo-フルセトスルフロン 40 g a.i./ha 莖葉処理後の代謝物分布率

収穫時期		直後			7日後			収穫期			
部位		葉			葉			茎		根	
%TRR		表面 洗浄液	抽出	合計	表面 洗浄液	抽出	合計	表面 洗浄液	抽出	合計	
抽出可能放射能		66.9	32.6	99.5	76.9	21.7	98.6	40.9	53.1	94.0	54.1
フルセトスルフロン(A)		62.4	21.0	83.4	71.3	11.6	82.9	37.3	22.9	60.2	0.9
酸/アルカリ抽出の合計		ns			ns			1.6			42.6
抽出残渣		0.5			1.4			4.3			3.1

\* ; 上段は、未同定代謝物の合計、下段は最も残留のあった未同定代謝物の値、

( )内は未同定代謝物の数、nd;未検出、 ns;酸/アルカリ抽出実施せず

土壤処理区：

表9 [ $\alpha$ -<sup>14</sup>C-Py]erythro-フルセトスルフロン 30 g a.i./ha 土壌処理後の代謝物濃度及び分布率

採取時期 部位	7日後		中間収穫				収穫期			
	葉部		葉部		根部		茎		根部	
	ppm	%TRR	ppm	%TRR	ppm	%TRR	ppm	%TRR	ppm	%TRR
抽出可能放射能	0.051	94.9	0.020	88.6	0.023	71.1	0.093	86.3	0.022	68.5
フルセトスルフロン(A)	0.006	10.9	0.001	3.1	<0.001	0.9	0.003	2.4	nd	nd
酸/アルカリ抽出の合計	ns	ns	0.002	9.4	0.010	28.6	0.014	12.0	0.009	28.6
抽出残渣	0.003	5.1	<0.001	2.0	<0.001	0.3	0.002	1.6	0.001	3.0

nd ;未検出、 ns;酸/アルカリ抽出実施せず

本資料に記載された情報に係る権利及び内容の責任は石原産業株式会社にある。

表 10 [2-<sup>14</sup>C-Pm]erythro-フルセトスルフロン 30 g a.i./ha 土壌処理後の代謝物濃度及び分布率

収穫時期 部位	7日後		中間収穫		収穫期			
	葉部		根部		茎		根部	
	ppm	%TRR	ppm	%TRR	ppm	%TRR	ppm	%TRR
抽出可能放射能	0.023	92.6	0.026	75.0	0.026	82.5	0.020	66.0
フルセトスルフロン(A)	0.005	21.6	nd	nd	0.001	3.3	nd	nd
酸/アルカリ抽出の合計	ns	ns	0.007	21.6	0.004	13.7	0.008	25.9
抽出残渣	0.002	7.4	0.001	3.2	0.001	3.7	0.002	8.0

nd : 未検出、 ns; 酸/アルカリ抽出実施せず

表 11 [ $\alpha$ -<sup>14</sup>C-Py]threo-フルセトスルフロン 30 g a.i./ha 土壌処理後の代謝物濃度及び分布率

収穫時期 部位	7日後		収穫期			
	葉部		茎		根部	
	ppm	%TRR	ppm	%TRR	ppm	%TRR
抽出可能放射能	0.041	94.5	0.074	85.9	0.018	47.0
フルセトスルフロン(A)	0.005	11.2	0.003	4.0	nd	nd
酸/アルカリ抽出の合計	ns	ns	0.010	12.4	0.019	48.6
抽出残渣	0.002	5.5	0.001	1.7	0.002	4.5

nd : 未検出、 ns; 酸/アルカリ抽出実施せず

### 3)まとめ

藁と根部中の代謝物は、定性的に同じであった。

穀殻の総残留放射濃濃度は 0.005~0.015 ppm であったが、抽出物の有機溶媒可溶画分および水溶性画分は、それぞれ 0.01 ppm 未満であった。

玄米の総残留放射能濃度は、0.003~0.004 ppm であった。

水稻中の主要成分は、未変化体のフルセトスルフロン(A)、  
であった。

異性体である *erythro* と *threo* 体間で分解性に大きな  
相違はなかった。

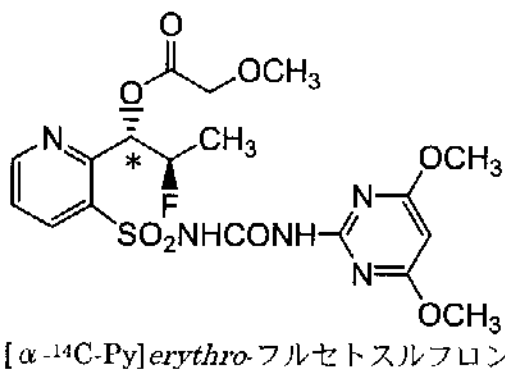
フルセトスルフロンの稻中の想定代謝経路

### 9.3 土壌代謝

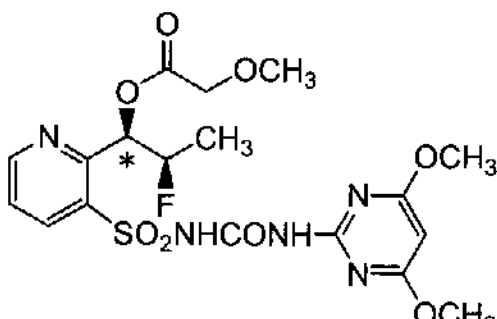
#### 9.3.1 フルセトスルフロンの好気/嫌気(水田)条件下の土壌における代謝(資料No. M-3.1)

試験機関 Huntingdon Life Sciences Ltd.  
報告書作成年 2006年 [GLP対応]

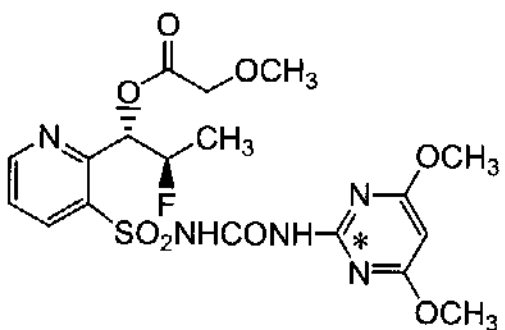
##### 供試標識化合物



[ $\alpha$ -<sup>14</sup>C-Py]erythro-フルセトスルフロン



[ $\alpha$ -<sup>14</sup>C-Py]threo-フルセトスルフロン



[2-<sup>14</sup>C-Pm]erythro-フルセトスルフロン

\* : 標識位置

化学名 : *N*-[(4,6-dimethoxy-2-pyrimidinyl)amino]carbonyl]-2-[2-fluoro-1-(methoxymethylcarbonyloxy)propyl]-3-pyridinesulfonamide

ロットNo. :

比放射能 :

放射化学的純度 :

標識位置の設定理由 :

供試土壌: 三重土壌 [水田土壌、埴壤土、pH 6.4、有機炭素含量 2.3%、粒度分布 (砂 31.44%、

シリ 43.77%, 粘土 24.79%]

試験方法：

薬剤処理量 0.03 ppm  
処理量の設定根拠

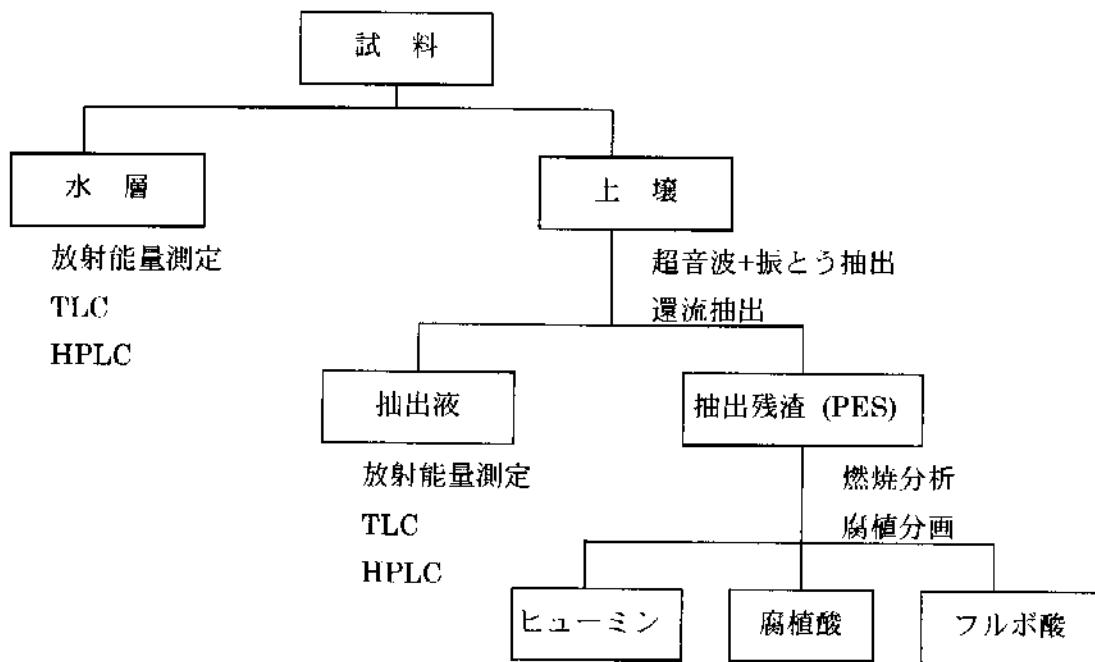
処理液の調製

各標識体ごとに<sup>[14]C</sup>フルセトスルフロンの保存溶液を必要量取り、アセトニトリルで定容し、処理液を調製した。

処理 土壌 500 g(乾土相当)をガラス容器に入れ、土壌層の厚さが約 5 cm となるようにした。これに水層の厚さが約 5 cm となるように蒸留水約 680 mL を加えた。この湛水土壌の水層表面に上記処理液 160~185 μL(15 μg)を処理し、25±2°C・暗所で 180 日間インキュベートした。微生物の影響も調べるために、湛水した滅菌土壌(水も滅菌)にも処理し、同じ条件下でインキュベートした。

採取時期 処理直後及び処理 0.25、1、3、7、14、30、90 及び 180 日後に土壌試料を採取した(滅菌土壌区は処理直後及び処理 7、14 及び 30 日後)。

分析方法 土壌及び水層は分けて分析し、土壌はアセトニトリル及びアセトニトリル／水混液で 4 回抽出した。更に処理 30 日後以降の試料については還流抽出を行い、また、抽出溶媒に酸を添加した。水層及び土壌抽出液は液体シンチレーション計測により放射能量を測定し、薄層クロマトグラフィー(TLC)または高速液体クロマトグラフィー(HPLC)により分析した。抽出残渣(PES)は燃焼分析により測定した。更に、抽出残渣を腐植分画してその性格を調べた。



試験結果：

- 分布 水層の放射能は 180 日後に 処理量 (AR)の 11.3~14.8%に減少した。  
土壌の抽出放射能は 180 日後に [ $\alpha$ -<sup>14</sup>C-Py]標識体区で 51.0~55.2%AR に増加した。[2-<sup>14</sup>C-Pm] 標識体区においては 30 日後に 21.9%AR まで増加した後、180 日後までに 16.5%AR に減少した。  
抽出残渣中の放射能は [ $\alpha$ -<sup>14</sup>C-Py] 標識体区において、Day180 までに 30.8~37.1%AR に増加した。[2-<sup>14</sup>C-Pm] 標識体においては 180 日後までに 60.3%AR まで増加した。  
揮発性物質の生成量は極微量であった。[2-<sup>14</sup>C-Pm] 標識体区においては、Day180 までに 2.7%AR の二酸化炭素が検出された。  
[ $\alpha$ ,<sup>14</sup>C-Py] 標識体区における回収率は 90.2~103.2%AR であった。[2-<sup>14</sup>C-Pm] 標識体区における回収率は 87.3~106.0%AR であった (表 1~3 参照)。  
滅菌土壌区における回収率は 90.9~94.7%AR であった。Day30 において水層の放射能は 61.0%AR に減少し、土壌の抽出放射能は 27.4%AR に増加した。抽出残渣中の放射能は Day30 までに 6.3%AR まで増加した。揮発性物質は検出されなかった (表 4 参照)。
- 抽出残渣 抽出残渣中の放射能は時間の経過と共に増加し、[ $\alpha$ -<sup>14</sup>C-Py]標識区については Day180 に最高で 30.8~37.1%AR に達し、[2-<sup>14</sup>C-Pm]標識区については Day180 に最高で 60.3%AR に達した。腐植分画の結果、放射能の大部分は標識位置に関わらずフルボ酸画分にあった (表 5 参照)。

代謝 (親化合物の分解)

本試験条件で速やかに分解し、水層における半減期 ( $DT_{50}$ )は 2.4~3.3 日であった。系全体 (水層+土壌)における  $DT_{50}$  は 2.2~3.1 日であった。滅菌土壌における  $DT_{50}$  は、水層及び系全体でそれぞれ 6.5 日及び 6.9 日であった (表 6~16 参照)。このことよりフルセトスルフロンの好気/嫌気 (水田)条件下の土壌における分解には微生物の寄与があると考えられた。ただし、化学的分解の寄与もあると考えられた。

代謝 (分解物)

表 1. 放射能の分布 : [ $\alpha$ - $^{14}\text{C}$ -Py] *erythro*-フルセトスルフロン区

日	水層	抽出放射能	揮発性有機物	処理量に対する割合 (%)		
				CO <sub>2</sub> (H)	抽出残さ	回収率
0	89.6	3.8	nd	nd	1.3	94.7
0.25	69.6	18.2	nd	nd	5.5	93.3
1	83.9	5.2	nd	nd	4.2	93.3
3	79.1	12.2	nd	nd	4.6	95.9
7	73.1	14.5	nd	nd	9.6	97.2
14	61.5	16.5	nd	nd	12.2	90.2
30	55.6	29.1	nd	nd	11.1	95.8
90	24.4	50.1	nd	nd	26.3	100.8
180	12.3	55.2	0.3	nd	30.8	98.6

nd : 検出限界以下

表 2. 放射能の分布 : [2-<sup>14</sup>C-Pm]*erythro*-フルセトスルフロン区

日	水層	抽出放射能	揮発性有機物	処理量に対する割合(%)		
				CO <sub>2</sub> (H)	抽出残さ	回収率
0	82.8	12.2	nd	nd	11.0	106.0
0.25	82.9	4.0	nd	nd	1.5	88.4
1	84.1	3.5	nd	nd	3.5	91.1
3	79.1	10.1	nd	nd	3.8	93.0
7	71.0	14.8	nd	nd	3.1	88.4
14	58.6	15.7	nd	nd	13.0	87.3
30	43.6	21.9	nd	nd	27.6	93.1
90	20.2	19.3	nd	0.9	60.3	100.7
180	11.3	16.5	nd	2.7	60.3	90.8

nd : 検出限界以下

表 3. 放射能の分布 : [ $\alpha$ -<sup>14</sup>C-Py]*threo*-フルセトスルフロン区

日	水層	抽出放射能	揮発性有機物	処理量に対する割合 (%)		
				CO <sub>2</sub> (H)	抽出残さ	回収率
0	92.4	0.8	nd	nd	< 0.8	93.2
0.25	87.6	6.0	nd	nd	3.9	97.5
1	84.5	4.6	nd	nd	4.0	93.1
3	78.8	10.3	nd	nd	4.6	93.7
7	72.3	14.1	nd	nd	8.3	94.7
14	62.5	16.7	nd	nd	17.8	97.0
30	47.3	35.3	nd	nd	9.3	91.9
90	22.1	54.4	nd	nd	21.8	98.3
180	14.8	51.0	nd	0.3	37.1	103.2

nd : 検出限界以下

表 4. 放射能の分布 : 滅菌土壤区([ $\alpha$ -<sup>14</sup>C-Py]*erythro*-フルセトスルフロンを処理)

H	水層	抽出放射能	揮発性有機物	処理量に対する割合 (%)		
				CO <sub>2</sub> (H)	抽出残さ	回収率
0	92.6	1.1	nd	nd	< 0.8	93.7
7	73.3	15.2	nd	nd	3.0	91.5
14	68.1	19.3	nd	nd	3.5	90.9
30	61.0	27.4	nd	nd	6.3	94.7

nd : 検出限界以下

本資料に記載された情報に係る権利及び内容の責任は石原産業株式会社にある。

表 5. 抽出残渣の腐植分画

<sup>14</sup> C 標識位置	Day	ヒューミン	フルボ酸	腐植酸	処理量に対する割合 (%)
[α- <sup>14</sup> C-Py]erythro	30	nd	11.1	nd	
	180	2.6	25.7	2.4	
[2- <sup>14</sup> C-Pm]erythro	30	10.0	12.8	4.7	
	180	18.9	30.8	10.5	
[α- <sup>14</sup> C-Py]threo	30	1.5	7.8	nd	
	180	3.2	31.5	2.3	

nd : 検出限界以下

表 6. 分解物の推移 : [α-<sup>14</sup>C-Py]erythro-フルセトスルフロン区、水層

日	フルセトスルフロン (A)	処理量に対する割合 (%)
0	87.0	
0.25	61.8	
1	63.7	
3	30.6	
7	13.7	
14	2.0	
30	0.1	
90	0.6	
180	0.3	

na : 未測定、nd : 検出限界以下

表 7. 分解物の推移 : [α-<sup>14</sup>C-Py]erythro-フルセトスルフロン区、土壤

日	フルセトスルフロン (A)	処理量に対する割合 (%)
0	3.2	
0.25	14.8	
1	1.5	
3	0.7	
7	0.4	
14	0.7	
30	nd	
90	0.2	
180	0.2	

na : 未測定

本資料に記載された情報に係る権利及び内容の責任は石原産業株式会社にある。

表 8. 分解物の推移 : [ $\alpha$ -<sup>14</sup>C-Py]erythro-フルセトスルフロン区、系全体(水層+土壤)

処理量に対する割合 (%)

H	フルセトスルフロン (A)						
0	90.2						
0.25	76.6						
1	65.2						
3	31.3						
7	14.1						
14	2.7						
30	0.1						
90	0.8						
180	0.5						

na : 未測定、nd : 検出限界以下

表 9. 分解物の推移 : [2-<sup>14</sup>C-Pm]erythro-フルセトスルフロン区、水層

処理量に対する割合 (%)

日	フルセトスルフロン (A)						
0	79.5						
0.25	75.4						
1	68.8						
3	28.1						
7	15.1						
14	2.1						
30	nd						
90	nd						

na : 未測定、nd : 検出限界以下

表 10. 分解物の推移 : [2-<sup>14</sup>C-Pm]erythro-フルセトスルフロン区、土壤

処理量に対する割合 (%)

日	フルセトスルフロン (A)						
0	10.7						
0.25	2.5						
1	1.2						
3	3.1						
7	nd						
14	nd						
30	nd						
90	nd						
180	nd						

na : 未測定、nd : 検出限界以下

本資料に記載された情報に係る権利及び内容の責任は石原産業株式会社にある。

表 11. 分解物の推移 : [2-<sup>14</sup>C-Pm] *erythro*-フルセトスルフロン区、系全体(水層 + 上壠)

日	フルセトスルフロン (A)	処理量に対する割合 (%)					
		0	0.25	1	3	7	14
0	90.2						
0.25	77.9						
1	70.0						
3	31.2						
7	15.1						
14	2.1						
30	nd						
90	nd						
180	nd						

na : 未測定、nd : 検出限界以下

表 12. 分解物の推移 : [ $\alpha$ -<sup>14</sup>C-Py] *threo*-フルセトスルフロン区、水層

日	フルセトスルフロン (A)	処理量に対する割合 (%)					
		0	0.25	1	3	7	14
0	90.9						
0.25	81.7						
1	71.1						
3	42.2						
7	12.4						
14	2.2						
30	nd						
90	0.5						
180	0.2						

na : 未測定、nd : 検出限界以下

表 13. 分解物の推移 : [ $\alpha$ -<sup>14</sup>C-Py] *threo*-フルセトスルフロン区、土壤

日	フルセトスルフロン (A)	処理量に対する割合 (%)					
		0	0.25	1	3	7	14
0	na						
0.25	3.8						
1	1.3						
3	1.3						
7	0.2						
14	0.8						
30	0.2						
90	0.1						
180	0.1						

na : 未測定、nd : 検出限界以下

表 14. 分解物の推移 : [ $\alpha$ -<sup>14</sup>C-Py] *threo*-フルセトスルフロン区、系全体(水層+土壤)

処理量に対する割合 (%)

日	フルセトスルフロン (A)						
0	90.9						
0.25	85.5						
1	72.4						
3	43.5						
7	12.6						
14	3.0						
30	0.2						
90	0.6						
180	0.3						

na : 未測定、nd : 検出限界以下

表 15. 分解物の推移 : 減菌土壤区\*、系全体(水層+土壤)

処理量に対する割合 (%)

日	フルセトスルフロン (A)			
0	90.3			
7	23.2			
14	37.4			
30	8.9			

nd : 検出限界以下

\* : 減菌土壤区は [ $\alpha$ -<sup>14</sup>C-Py] *erythro*-フルセトスルフロンを処理。

表 16. 分解速度 : フルセトスルフロン

水層

<sup>14</sup> C 標識位置	DT <sub>50</sub> (日)	DT <sub>90</sub> (H)	r <sup>2</sup>
[ $\alpha$ - <sup>14</sup> C-Py] <i>erythro</i>	2.4	8.1	0.973
[2- <sup>14</sup> C-Pm] <i>erythro</i>	2.6	8.6	0.979
[ $\alpha$ - <sup>14</sup> C-Py] <i>threo</i>	3.3	10.9	0.983
滅菌土壤	6.5	21.6	0.844

系全体(水層+土壤)

<sup>14</sup> C 標識位置	DT <sub>50</sub> (日)	DT <sub>90</sub> (日)	r <sup>2</sup>
[ $\alpha$ - <sup>14</sup> C-Py] <i>erythro</i>	2.2	7.5	0.986
[2- <sup>14</sup> C-Pm] <i>erythro</i>	2.5	8.2	0.984
[ $\alpha$ - <sup>14</sup> C-Py] <i>threo</i>	3.1	10.2	0.989
滅菌 ([ $\alpha$ - <sup>14</sup> C-pyridine] <i>erythro</i> )	6.9	23.1	0.794

表 17. 分解速度 : Met-1(B)

水層

<sup>14</sup> C 標識位置	DT <sub>50</sub> (日)	DT <sub>90</sub> (日)	r <sup>2</sup>
[α- <sup>14</sup> C-Py]erythro	20.0	66.3	0.973
[2- <sup>14</sup> C-Pm]erythro	16.0	53.2	0.979
[α- <sup>14</sup> C-Py]threo	15.7	52.1	0.983

系全体(水層+土壤)

<sup>14</sup> C 標識位置	DT <sub>50</sub> (日)	DT <sub>90</sub> (日)	r <sup>2</sup>
[α- <sup>14</sup> C-Py]erythro	22.1	73.4	0.986
[2- <sup>14</sup> C-Pm]erythro	18.7	62.3	0.984
[α- <sup>14</sup> C-Py]threo	19.9	66.0	0.989

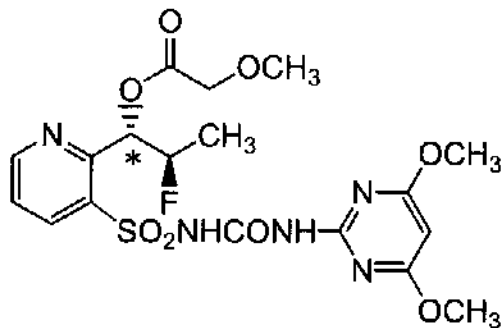
本資料に記載された情報に係る権利及び内容の責任は石原産業株式会社にある。

図 1. フルセトスルフロンの好気/嫌気(水田)条件下の土壤における想定代謝経路

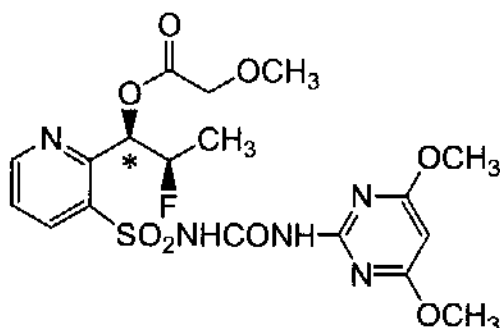
9.3.2 フルセトスルフロン 好気条件下の土壤における代謝 (資料 No. M-3.2)

試験機関 Huntingdon Life Sciences, Ltd.  
報告書作成年 2006 年 [GLP 対応]

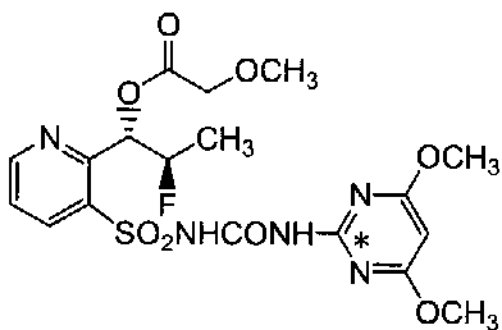
供試標識化合物



[ $\alpha$ -<sup>14</sup>C-Py]erythro-フルセトスルフロン



[ $\alpha$ -<sup>14</sup>C-Py]threo-フルセトスルフロン



[2-<sup>14</sup>C-Pm]erythro-フルセトスルフロン

\* : 標識位置

化学名 : *N*-[(4,6-dimethoxy-2-pyrimidinyl)amino]carbonyl]-2-[2-fluoro-1-(methoxymethylcarbonyloxy)propyl]-3-pyridinesulfonamide

ロット No. :

比放射能 :

放射化学的純度 :

標識位置の設定理由 :

供試土壤 : 三重土壤 [(畑土壤、埴土壤、pH 7.0、有機炭素含量 5.2%、粒度分布(砂 43.37%、シルト 35.28%、粘土 21.35%)]

試験方法：

薬剤処理量 0.2 ppm

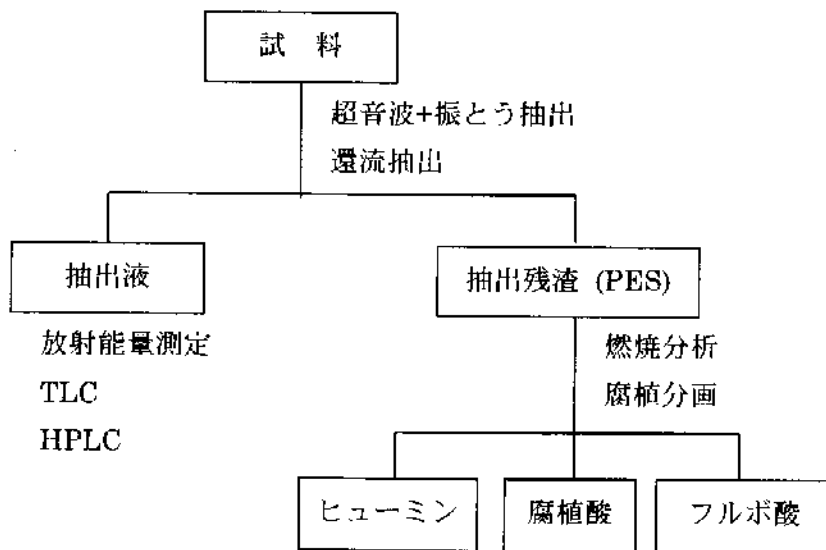
処理量の設定根拠

処理液の調製 各標識体ごとに $[^{14}\text{C}]$  フルセトスルフロンの保存溶液を必要量取り、アセトニトリル／水 (1:1, v/v)溶液で定容し、処理液を調製した。

処理 上記処理液 170 ~ 185  $\mu\text{L}$  (20  $\mu\text{g}$ )を土壤 100 g (乾土相当)に処理し、土壤の水分張力を pF2 (最大容水量の 62 %に相当)に維持して  $25 \pm 2^\circ\text{C}$ ・暗所で 1 年間インキュベートした。微生物の影響も調べるために、滅菌土壤にも処理し、同じ条件下でインキュベートした。

採取時期 処理直後及び処理 0.25、1、3、7、14、30、60、120、179、270 及び 365 日後に土壤試料を採取した (滅菌土壤区は処理直後及び処理 7、14 及び 30 日後)。

分析方法 土壤試料はアセトニトリル及びアセトニトリル／水混液で最大 8 回抽出した。土壤抽出液は液体シンチレーション計測により放射能量を測定し、薄層クロマトグラフィー (TLC) または高速液体クロマトグラフィー (HPLC) により分析した。抽出残渣 (PES) は燃焼分析により測定した。更に、抽出残渣を腐植分画してその性格を調べた。



試験結果：

分布 抽出放射能は時間とともに減少し、Day365 には 43.2~51.6%AR (処理放射能) にまで減少した。これに対応して二酸化炭素への無機化及び抽出残渣中の放射能の増加が観察された。二酸化炭素は Day1 から検出され、Day365 に最高で 23.6 ~ 30.1%AR に達した。抽出残渣は最高で 22.1~29.9%AR (Day120~365) に達した。回収率は試験期間を通じて 92.9~113.0 % だった (表 1~3 参照)。

滅菌土壤区における回収率は 95.6~99.2%AR であった。土壤の抽出放射能は一定であった。抽出残渣中の放射能は Day14 に 2.7%AR まで増加した。揮発性物質は検出されなかった (表 4 参照)。

**抽出残渣** 抽出残渣中の放射能は最高で 22.1~29.9%AR となった。腐植分画の結果、[ $\alpha$ -<sup>14</sup>C-Py]標識体区については、放射能の大部分は Day30 にはフルボ酸画分にあるが、時間の経過と共にヒューミン画分の占める割合が増えることが分かった。[2-<sup>14</sup>C-Pm]標識体区についても時間の経過と共にヒューミン画分の占める割合が増えることが分かった（表 5 参照）。

#### 代謝（親化合物の分解）

本試験条件で速やかに分解し、土壤半減期 ( $DT_{50}$ ) は 0.085~0.102 H だった。 $DT_{90}$  は 0.282~0.338 日だった。滅菌土壤における  $DT_{50}$  及び  $DT_{90}$  はそれぞれ 10 日及び 33 日であった（表 6~10 参照）。このことよりフルセトスルフロンの好気条件下の土壤における分解には微生物の寄与があると考えられた。ただし、化学的分解の寄与もあると考えられた。

表 1. 放射能の分布 : [ $\alpha$ -<sup>14</sup>C-Py]erythro-フルセトスルフロン区

日	抽出放射能	抽出残さ	処理量に対する割合 (%)	
			CO <sub>2</sub> (H)	回収率
0	96.8	1.9	na	98.7
0.25	93.9	2.2	nd	96.1
1	92.0	10.1	nd	102.1
3	91.9	8.8	0.1	100.8
7	96.6	3.2	0.2	100.0
14	91.4	5.8	0.6	97.8
30	84.1	10.1	1.9	96.1
60	81.8	11.9	7.0	100.7
120	77.2	12.0	10.4	99.6
179	63.9	20.5	15.8	100.2
270	58.6	18.9	22.9	100.4
365	47.5	22.1	28.6	98.2

na : 未測定、nd : 検出限界以下

表 2. 放射能の分布 : [2-<sup>14</sup>C-Pm]erythro-フルセトスルフロン区

日	抽出放射能	抽出残さ	処理量に対する割合 (%)	
			CO <sub>2</sub> (H)	回収率
0	98.5	2.0	na	100.5
0.25	96.6	2.5	nd	99.1
1	99.0	4.2	0.1	103.3
3	98.0	4.4	0.2	102.6
7	88.1	5.9	0.7	94.7
14	90.1	6.9	1.4	98.4
30	75.8	14.1	3.9	93.8
60	73.9	13.1	7.8	94.8
120	67.7	29.9	15.4	113.0
179	57.5	28.8	22.1	108.4
270	51.0	24.5	27.8	103.3
365	43.2	24.4	30.1	97.7

na : 未測定、nd : 検出限界以下

表 3. 放射能の分布 :  $[\alpha\text{-}^{14}\text{C-Py}]threo$ -フルセトスルフロン区

処理量に対する割合 (%)

日	抽出放射能	抽出残さ	$\text{CO}_2(\text{H})$	回収率
0	92.4	0.8	na	93.2
0.25	94.1	1.4	nd	95.5
1	97.8	3.5	nd	101.3
3	89.2	12.5	nd	101.7
7	89.5	3.2	0.2	92.9
14	89.5	5.7	0.8	96.0
30	80.8	10.9	1.3	93.0
60	81.3	15.1	3.2	99.6
120	75.0	24.2	9.0	108.2
179	61.7	23.2	13.8	98.7
270	58.3	15.7	19.6	93.6
365	51.6	21.7	23.6	96.9

na : 未測定、nd : 検出限界以下

表 4. 放射能の分布 : 減菌土壤区 ( $[\alpha\text{-}^{14}\text{C-Py}]erythro$ -フルセトスルフロンを処理)

処理量に対する割合 (%)

日	抽出放射能	抽出残さ	$\text{CO}_2(\text{H})$	回収率
0	98.2	0.3	na	98.5
7	93.8	1.8	nd	95.6
14	96.5	2.7	nd	99.2
30	94.9	1.8	nd	96.7

na : 未測定、nd : 検出限界以下

表 5. 抽出残渣の腐植分画

処理量に対する割合 (%)

$^{14}\text{C}$ 標識位置	Day	ヒューミン	フルボ酸	腐植酸
$[\alpha\text{-}^{14}\text{C-Py}]erythro$	30	1.5	7.4	1.2
	60	2.2	7.8	1.9
	365	12.6	3.8	5.7
$[2\text{-}^{14}\text{C-Pm}]erythro$	30	6.3	4.0	3.8
	60	5.0	4.4	3.7
	365	13.3	2.4	8.7
$[\alpha\text{-}^{14}\text{C-Py}]threo$	30	1.7	6.7	2.5
	60	3.2	6.7	5.1
	365	13.2	2.5	5.9

表 6. 分解物の推移 : [ $\alpha$ -<sup>14</sup>C-Py]erythro-フルセトスルフロン区

処理量に対する割合 (%)

日	フルセトスルフロン (A)						
0	93.2						
0.25	16.6						
1	1.8						
3	0.8						
7	0.9						
14	0.2						
30	0.6						
60	0.9						
120	0.8						
179	0.5						
270	0.5						
365	0.4						

na : 未測定

表 7. 分解物の推移 : [2-<sup>14</sup>C-Pm]erythro-フルセトスルフロン区

処理量に対する割合 (%)

日	フルセトスルフロン (A)						
0	95.7						
0.25	14.9						
1	10.3						
3	1.6						
7	< 0.1						
14	< 0.1						
30	< 0.1						
60	< 0.1						
120	< 0.1						
179	< 0.1						
270	< 0.1						
365	< 0.1						

na : 未測定

本資料に記載された情報に係る権利及び内容の責任は石原産業株式会社にある。

表 8. 分解物の推移 : [ $\alpha$ -<sup>14</sup>C-Py] *threo*-フルセトスルフロン区

日	フルセトスルフロン (A)	処理量に対する割合 (%)					
0	90.1						
0.25	13.6						
1	1.1						
3	2.3						
7	0.5						
14	0.4						
30	0.3						
60	0.8						
120	0.4						
179	0.1						
270	< 0.1						
365	0.3						

na : 未測定

表 9. 分解物の推移 : 減菌土壤区([ $\alpha$ -<sup>14</sup>C-Py] *erythro*-フルセトスルフロンを処理)

日	フルセトスルフロン (A)	処理量に対する割合 (%)		
0	92.2			
7	76.4			
14	13.4			
30	17.5			

表 10. 分解速度： フルセトスルフロン(A)

<sup>14</sup> C 標識位置	DT <sub>50</sub> (日)	DT <sub>90</sub> (日)	r <sup>2</sup>
[ $\alpha$ - <sup>14</sup> C-pyridine] <i>erythro</i>	0.102	0.338	0.986
[2- <sup>14</sup> C-pyrimidine] <i>erythro</i>	0.085	0.282	0.964
[ $\alpha\alpha$ - <sup>14</sup> C-pyridine] <i>threo</i>	0.086	0.286	0.989
滅菌土壤	10	33	0.801

表 11. 分解速度：

<sup>14</sup> C 標識位置	DT <sub>50</sub> (日)	DT <sub>90</sub> (日)	r <sup>2</sup>
[ $\alpha$ - <sup>14</sup> C-Py] <i>erythro</i>			
[2- <sup>14</sup> C-Pm] <i>erythro</i>			
[ $\alpha$ - <sup>14</sup> C-Py] <i>threo</i>			

表 12. 分解速度：

<sup>14</sup> C 標識位置	DT <sub>50</sub> (日)	DT <sub>90</sub> (日)	r <sup>2</sup>
[ $\alpha$ - <sup>14</sup> C-pyridine] <i>erythro</i>			
[ $\alpha$ - <sup>14</sup> C-pyridine] <i>threo</i>			

表 13. 分解速度：

<sup>14</sup> C 標識位置	DT <sub>50</sub> (日)	DT <sub>90</sub> (日)	r <sup>2</sup>
[ $\alpha$ - <sup>14</sup> C-pyridine] <i>erythro</i>			
[2- <sup>14</sup> C-pyrimidine] <i>erythro</i>			
[ $\alpha$ - <sup>14</sup> C-pyridine] <i>threo</i>			

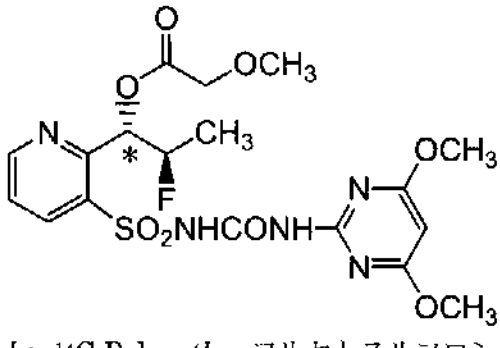
本資料に記載された情報に係る権利及び内容の責任は石原産業株式会社にある。

図 1. フルセトスルフロンの好気条件下の土壤における想定代謝経路

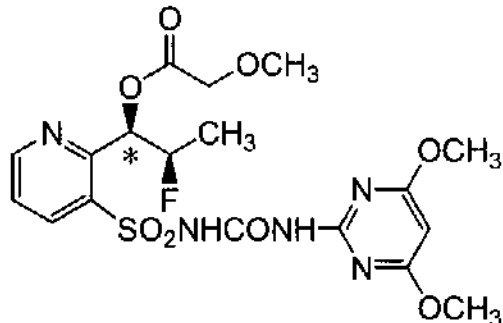
### 9.3.3 土壌吸脱着性試験 (資料 No. M-3.3)

試験機関 Huntingdon Life Sciences Ltd.  
報告書作成年 2004 年 [GLP 対応]

供試標識化合物



[ $\alpha$ - $^{14}\text{C}$ -Py]*erythro*-フルセトスルフロン



[ $\alpha$ - $^{14}\text{C}$ -Py]*threo*-フルセトスルフロン

\* =  $^{14}\text{C}$  標識位置

化学名 : *N*[[ $(4,6\text{-dimethoxy-2-pyrimidinyl})\text{amino}$ ]carbonyl]-2-[2-fluoro-1-(methoxymethylcarbonyloxy)propyl]-3-pyridinesulfonamide

ロット No. :

比放射能 :

放射化学的純度 :

供試土壌 : Soil I (イギリス Bromsgrove、砂壌土、OECD106 土壌タイプ 5)  
Soil II (イギリス Elmton、埴壌土、OECD106 土壌タイプ 2)  
Soil III (デンマーク Flakkebjerg、砂壌土、OECD106 土壌タイプ 3)  
Soil IV (日本 Saitama、火山灰、OECD106 土壌タイプ 4)  
Soil V (ドイツ Speyer2.2、壌質砂土、OECD106 土壌タイプ 5)  
(表 1 参照)

試験方法 : OECD ガイドラインに従い、フルセトスルフロン-*erythro* 体を用いて予備試験及び本試験を行った。予備試験において、土壌/溶液比、吸着平衡時間及び脱着平衡時間測定した。土壌/溶液比測定には 1 土壌、平衡時間測定には 5 土壌を用いた。本試験においては、5 土壌全てを用い、土壌吸着を調べるためにフロイントリッヒ吸着等温式を求めた。また、土壌吸着が可逆的か不可逆的かを調べるためにフロイントリッヒ脱着等温式を求めた。更に、異性体間比較を行うため、フルセトスルフロン-*threo* 体を用いて吸着係数 (Kd) を測定した。

### 供試土壌の調製

上壌は 2 mm の篩にかけ、室温で風乾し、4°C で保存した。使用前、土壌は  $\gamma$  線で滅菌した。フルセトスルフロンを添加する前に、土壌に 0.01 M 塩化カルシウム水溶液を添加し（試験に用いる液量の 95%）、最低 15 時間水平方向に振盪（約 25°C・暗所）することにより平衡化した。

### 試験溶液の作製

[<sup>14</sup>C]erythro 体あるいは *threo* 体標準溶液を非標識フルセトスルフロンで放射能希釈し、0.01 M 塩化カルシウム溶液を添加して 0.1 mg/mL（設定値）の試験溶液を作製した。予め平衡化された各々の試験区にこの試験溶液 1 mL を添加し、溶液濃度 4.93 ~ 5.02 mg/L を得た（アセトニトリル濃度 0.06~0.1% v/v）。低濃度試料用の試験溶液調製では、放射能希釈せずに試験溶液を作製し、上述同様に添加し、溶液濃度 1.01、0.25、0.105 及び 0.054 mg/L を得た（アセトニトリル濃度 0.1% v/v）。

### 予備試験

#### 土壌/溶液比の測定

[<sup>14</sup>C]erythro 体、Soil I を用いて試験を実施した（24.3°C ± 0.6°C・暗所、溶液濃度 5.01 mg/L）。土壌/溶液比 1:1、1:5 及び 1:20 で試験した結果、最も吸着の大きかった土壌/溶液比 1:1 (w/v) を以後の試験で用いることとした（表 2 参照）。また、平衡化後フルセトスルフロンの分解が有意に起こっていたことから、微生物的分解を抑制するために、使用前に試験土壌を  $\gamma$  線滅菌することとした。

#### 吸着平衡時間の測定

土壌/溶液比 1:1 で試験を実施した（24.1°C ± 0.1°C・暗所、溶液濃度 5.02 mg/L）。平衡化後、依然としてフルセトスルフロンは分解したもの、滅菌処理することで分解を抑えることが出来た（表 3 参照）。フルセトスルフロンの分解を最小限にするため、以後の試験における吸着平衡時間は 4 時間とした。

#### 脱着平衡時間の測定

4 時間の吸着平衡後、新たな溶液を添加して試験を実施した（24.5°C ± 0.1°C・暗所、溶液濃度 5.00 mg/L）。フルセトスルフロンの分解を考慮し、脱着率を一定にするため、本試験における脱着平衡時間は 8 時間とした（表 4 参照）。

### 本試験

#### 土壌における[<sup>14</sup>C]erythro 体の吸着

上壌におけるフルセトスルフロンの吸着挙動を調べるために行った。土壌/溶液比及び吸着平衡時間は、予備試験において選択した値を用いた。各々の滅菌土壌 20 g (乾土相当) に、最終水量が 19 mL となるように 0.01 M 塩化カルシウム水溶液を添加し平衡化した後、各濃度のフルセトスルフロン試験溶液 1 mL を加え、水平方向

に振盪した ( $25^{\circ}\text{C} \pm 0.4^{\circ}\text{C}$ ・暗所)。溶液濃度は 4.97、1.01、0.25、0.105 及び 0.054 mg/L とした。4 時間後に試料を採取し、遠心分離し、溶液の放射能量を測定した (2 連)。得られた結果より、物質収支\*及び吸着パラメーターを求めた。

#### 土壤からの [ $^{14}\text{C}$ ]erythro 体の脱着

土壤におけるフルセトスルフロンの脱着挙動を調べるために行った。土壤/溶液比及び脱着平衡時間は、予備試験において選択した値を用いた。上述の吸着後、溶液を除去し、除去した溶液と等量の新たな 0.01 M 塩化カルシウム溶液を土壤に添加し、水平方向に振盪した ( $25^{\circ}\text{C} \pm 0.1^{\circ}\text{C}$ ・暗所)。8 時間後に試料を採取し、遠心分離し、溶液の放射能量を測定した (2 連)。得られた結果より、物質収支\*及び脱着パラメーターを求めた。

#### 土壤における [ $^{14}\text{C}$ ]threo 体の吸着係数 (Kd)

異性体間の吸着挙動を比較するために行った。土壤/溶液比及び吸着平衡時間は、予備試験において選択した値を用いた。各々の滅菌土壤 20 g (乾土相当)に、最終水量が 19 mL となるように 0.01 M 塩化カルシウム水溶液を添加し平衡化した後、フルセトスルフロン試験溶液 1 mL を加え、水平方向に振盪した ( $24.7^{\circ}\text{C} \pm 0.1^{\circ}\text{C}$ ・暗所)。溶液濃度は 4.93 mg/L とした。4 時間後に試料を採取し、遠心分離し、溶液の放射能量を測定した (2 連)。得られた結果より吸着パラメーターを求めた。

\* 物質収支 本試験における土壤試料について、吸着あるいは吸着/脱着後、溶液中の放射能、土壤を抽出して求めた放射能及び土壤の抽出残さを燃焼して求めた放射能の合計を、放射能の回収率として表した。

**分析方法** 溶液は遠心分離後、一定量を取って液体シンチレーションアナライザーを用いて放射能量を測定した。物質収支を求める際、遠心分離後の土壤をアセトニトリルあるいはアセトニトリル：水 (70:30 v/v)を用いて抽出し、抽出液中の放射能量は液体シンチレーションアナライザーを用いて測定した。抽出残物 (PES)は燃焼し、液体シンチレーションアナライザーを用いて燃焼生成物を測定した。また、溶液あるいは土壤抽出液の一部を TLC により分析し、フルセトスルフロンの分解割合を求めた。

#### 試験結果

##### 土壤における [ $^{14}\text{C}$ ]erythro 体の吸着

物質収支を求めた結果、Soil I-V における回収率は 100.6~103.3% であった (表 5 参照)。また、吸着平衡後のフルセトスルフロンの残存割合を測定した結果、溶液におけるフルセトスルフロンの割合は 59.0~88.1% であった。土壤抽出液におけるフルセトスルフロンの割合は 43.0~76.8% であった (表 6 参照)。TLC 分析の結果をもとに正確なフルセトスルフロンの濃度を算出し、吸着パラメーターを求めた。フロイントリッヒ吸着係数 ( $K_{\text{F}}^{\text{ads}}$ ) は 0.085~0.238、それを土壤の有機炭素含有率で補正した  $K_{\text{F}}$

本資料に記載された情報に係る権利及び内容の責任は石原産業株式会社にある。

$oc$  は 2.67~16.6 であり、傾き ( $1/n$ ) は 0.85~0.93 であった。*erythro* 体は 5 土壌全てに対して弱い吸着を示した (表 7 参照)。

#### 土壌からの [ $^{14}\text{C}$ ] *erythro* 体の脱着

物質収支を求めた結果、Soil I-V における回収率は 96.0~102.4% であった (表 8 参照)。また、吸着/脱着平衡後のフルセトスルフロンの残存割合を測定した結果、溶液におけるフルセトスルフロンの割合は 11.3~64.4% であった。土壌抽出液におけるフルセトスルフロンの割合は、9.2~51.4% であった (表 9 参照)。TLC 分析の結果とともに正確なフルセトスルフロンの濃度を算出し、脱着パラメーターを求めた。フロイントリッヒ脱着係数 ( $K_F^{des}$ ) は 0.174~0.267、それを土壌の有機炭素含有率で補正した  $K_F^{oc}$  は 5.4~20.0 であり、傾き ( $1/n$ ) は 0.93~0.98 であった。以上の結果より、各々の土壌においてフロイントリッヒ吸着係数及び脱着係数は近似しており、よってフルセトスルフロンの土壌への吸着は弱く、吸着は可逆的であると考えられた (表 10 参照)。

#### 土壌における [ $^{14}\text{C}$ ] *threo* 体の吸着係数 (Kd)

吸着平衡後のフルセトスルフロンの残存割合を TLC により測定し (表 11 参照)、正確なフルセトスルフロンの濃度を算出し、吸着パラメーターを求めた。吸着係数 (Kd) は 0.092~0.149 であり、*threo* 体は土壌への弱い吸着を示した。フルセトスルフロンの両異性体で算出した吸着係数 (Kd) は近似しており、土壌における移動性は同等であると考えられた (表 12 参照)。

表 1. 供試土壤

	土壤				
	I	II	III	IV	V
採取場所	Bromsgrove	Elmton	Flakkebjerg	Saitama	Speyer2.2
有機炭素含有率 (g/100 g soil) %	1.1	3.2	1.3	3.7	2.8
pH (0.01 M CaCl <sub>2</sub> )	5.2	7.3	6.3	5.4	5.5
pH (水)	5.8	8.0	6.9	5.6	6.2
陽イオン交換容量 (mEq/100 g soil)	11.7	28.7	13.5	24.6	11.8
土性分類(USDA)	砂壤土	埴壤土	砂壤土	火山灰	壤質砂土
粒径分布(USDA)					
< 0.002 mm(粘土) %	13.55	25.17	13.92	15.7	7.03
0.002-0.053 mm(シルト) %	15.85	26.07	30.93	40.4	13.39
2-0.053 mm(砂) %	70.60	48.76	55.15	43.9	79.57
窒素含有量(mg/kg)	1133.9	3191.7	1049.8	2898.1	2239.8
有機物含有率 (g/100 g soil) %	1.89	5.5	2.24	5.46	4.82
OECD 106 による土壤分類	5	2	3	4	5

表 2. 土壌 / 溶液比の測定 (Soil I、溶液中の放射能量)

	吸着時間 (時間)				
	2	4	8	24	48
土壌/溶液比 1:1 w/v	73.2 <sup>a</sup>	64.7	60.4	75.4	75.3
土壌/溶液比 1:5 w/v	87.6	82.1	81.3	99.6	88.9
土壌/溶液比 1:20 w/v	92.5	98.6	95.8	99.2	100.1
プランク (土壌なし)	100.3	89.1	99.9	93.2	101.0

<sup>a</sup> 表の数値は処理量に対する割合 %

表 3. 吸着平衡時間の測定 (溶液中の放射能量)

吸着平衡時間 (時間)	2	4	8	24	48
Soil I	82.3 <sup>a</sup>	85.3	83.9	78.1	81.2
Soil II	94.9	89.8	87.3	81.3	76.8
Soil III	87.2	87.6	82.7	81.3	77.4
Soil IV	86.0	87.3	79.4	77.3	71.7
Soil V	77.2	78.0	78.2	73.9	71.9

<sup>a</sup> 表の数値は処理量に対する割合 %

表4. 脱着平衡時間の測定 (溶液中の放射能量)

脱着平衡時間 (時間)	2	4	8	24	48
Soil I	17.0 <sup>a</sup>	23.1	19.2	21.0	22.6
Soil II	17.8	23.7	20.8	19.9	20.6
Soil III	18.7	22.5	20.5	21.4	21.8
Soil IV	14.2	16.6	15.8	14.1	14.0
Soil V	19.5	21.5	22.1	20.9	22.4

<sup>a</sup> 表の数値はフルセトスルフロン相当  $\mu\text{g}$

表5. 物質収支 (吸着試験, *erythro* 体)

土壤	Soil I	Soil II	Soil III	Soil IV	Soil V
水溶液 <sup>a</sup>	48.2 <sup>b</sup>	45.6	51.6	19.6	39.8
土壤抽出液	50.1	49.0	47.1	75.7	60.5
抽出残さ	3.3	8.7	1.9	6.2	1.4
回収率 (%)	101.6	103.3	100.6	101.5	101.7

<sup>a</sup> 遠心分離後、土壤から分離した溶液のみを測定

<sup>b</sup> 表の数値は処理量に対する割合 % (溶液濃度 4.97 mg/L)

表6. 溶液及び土壤抽出液における放射性物質の割合 (吸着試験, *erythro* 体)

土壤抽出液	Soil I	Soil II	Soil III	Soil IV	Soil V
フルセトスルフロン	76.8 <sup>a</sup>	43.0	73.5	69.9	55.3
その他	23.2	57.0	26.5	30.1	44.7
溶液	Soil I	Soil II	Soil III	Soil IV	Soil V
フルセトスルフロン	88.1	59.0	86.8	82.7	76.6
その他	11.9	41.0	13.2	17.3	23.4

<sup>a</sup> 表の数値は溶液または土壤抽出液中放射能に対する割合 % (溶液濃度 4.97 mg/L)

表7. 吸着パラメーター (*erythro* 体)

供試土壤	%有機炭素	K <sub>F</sub> <sup>ads</sup> <sup>a</sup>	K <sub>Foc</sub> <sup>b</sup>	K <sub>Foc</sub> <sup>c</sup>	1/n <sup>d</sup>
Soil I	1.1	0.183	9.68	16.6	0.92
Soil II	3.2	0.085	1.55	2.67	0.88
Soil III	1.3	0.162	7.23	12.5	0.89
Soil IV	3.2	0.143	2.62	4.51	0.85
Soil V	2.8	0.238	4.94	8.50	0.93

<sup>a</sup> フロイントリッヒ吸着係数

<sup>b</sup> %有機物で補正したフロイントリッヒ吸着係数

<sup>c</sup> %有機炭素で補正したフロイントリッヒ吸着係数

<sup>d</sup> フロイントリッヒ吸着等温式の傾き

表 8. 物質収支(脱着試験, *erythro* 体)

土壤	Soil I <sup>c</sup>	Soil II	Soil III	Soil IV	Soil V
吸着溶液 <sup>a</sup>	49.4 <sup>b</sup>	49.8	50.8	24.5	36.9
脱着溶液 <sup>a</sup>	20.6	21.2	20.2	16.3	21.5
土壤抽出液	27.8	25.6	23.9	53.5	38.5
抽出残さ	1.4	4.7	1.1	8.1	1.1
回収率(%)	99.2	101.3	96.0	102.4	98.0

<sup>a</sup> 遠心分離後、土壤から分離した溶液のみを測定

<sup>b</sup> 表の数値は処理量に対する割合 % (溶液濃度 4.97 mg/L)

<sup>c</sup> Soil I のみ 1 連制分析

表 9. 溶液及び土壤抽出液における放射性物質の割合(脱着試験, *erythro* 体)

土壤抽出液	Soil I	Soil II	Soil III	Soil IV	Soil V
フルセトスルフロン	51.4 <sup>a</sup>	9.2	45.7	47.8	22.0
その他	48.6	90.8	54.3	52.2	78.0
溶液	Soil I	Soil II	Soil III	Soil IV	Soil V
フルセトスルフロン	64.4	11.3	58.0	55.8	33.5
その他	35.6	88.7	42.0	44.2	66.5

<sup>a</sup> 表の数値は溶液または土壤抽出液中放射能に対する割合 % (溶液濃度 4.97 mg/L)

表 10. 脱着パラメーター(*erythro* 体)

供試土壤	%有機炭素	K <sub>F</sub> <sup>des</sup> <sup>a</sup>	K <sub>F<sub>om</sub></sub> <sup>b</sup>	K <sub>F<sub>uc</sub></sub> <sup>c</sup>	1/n <sup>d</sup>
Soil I	1.1	0.220	11.6	20.0	0.93
Soil II	3.2	0.174	3.16	5.44	0.93
Soil III	1.3	0.239	10.7	18.4	0.98
Soil IV	3.2	0.267	4.90	8.42	0.94
Soil V	2.8	0.255	5.29	9.11	0.93

<sup>a</sup> フロイントリッヒ脱着係数

<sup>b</sup> %有機物で補正したフロイントリッヒ脱着係数

<sup>c</sup> %有機炭素で補正したフロイントリッヒ脱着係数

<sup>d</sup> フロイントリッヒ脱着等温式の傾き

表 11. 溶液及び土壌抽出液における放射性物質の割合(吸着試験, *threo* 体)

土壌抽出液	Soil I	Soil II	Soil III	Soil IV	Soil V
フルセトスルフロン	77.9 <sup>a</sup>	52.5	81.0	78.1	64.9
その他	22.1	47.5	19.0	21.9	35.1
溶液	Soil I	Soil II	Soil III	Soil IV	Soil V
フルセトスルフロン	80.3	58.3	83.7	83.7	72.7
その他	19.7	41.7	16.3	16.3	27.3

<sup>a</sup> 表の数値は溶液または土壌抽出液中放射能に対する割合 %

表 12. 吸着定数(Kd)の比較

供試土壌	フルセトスルフロン	
	<i>erythro</i> 体	<i>threo</i> 体
Soil I	0.171	0.098
Soil II	0.068	0.092
Soil III	0.149	0.122
Soil IV	0.102	0.093
Soil V	0.216	0.149

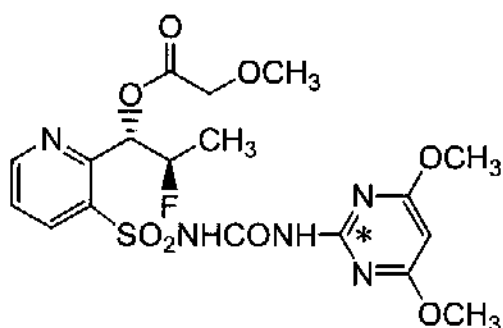
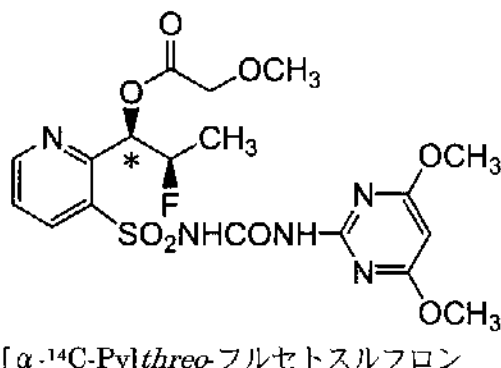
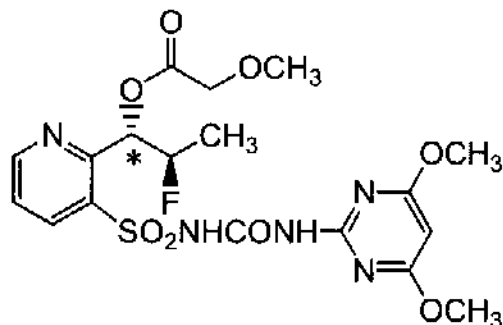
## 9.4 その他

### 9.4.1 フルセトスルフロンの加水分解運命試験 (資料 No. M-4.1)

試験機関 Huntingdon Life Sciences Ltd.

報告書作成年 2004 年 [GLP 対応]

#### 供試標識化合物



\* : 標識位置

化学名 : *N*[[*(4,6-dimethoxy-2-pyrimidinyl)amino*]carbonyl]-2-[2-fluoro-1-(methoxymethylcarbonyloxy)propyl]-3-pyridinesulfonamide

ロット No. :

比放射能 :

放射化学的純度 :

標識位置の設定理由 :

供試水溶液：

0.01M pH4 緩衝液

冰酢酸 (0.6 mL)を約 900 mL の水 (HPLC グレード)に加え、水酸化ナトリウム水溶液 (1M)で pH 4 になるように調整し、水で 1 L となるようにした。

0.01M pH7 緩衝液

リン酸二水素ナトリウム (1.57 g)を約 900 mL の水 (HPLC グレード)に加え、水酸化ナトリウム水溶液 (1 M)で pH 7 になるように調整し、水で 1 L となるようにした。

0.01M pH9 緩衝液

ホウ酸 (0.618 g)を約 900 mL の水 (HPLC グレード)に加え、水酸化ナトリウム水溶液 (1 M)で pH 9 になるように調整し、水で 1 L となるようにした。

各緩衝液は 121°C、15 分のオートクレーブにより滅菌した。

試験方法：

試験濃度 約 50 mg/L

試験濃度設定根拠 フルセトスルフロンの水溶解度 114 mg/L の 1/2 以下となる濃度とした。

試験温度 暗所 25°C ± 1°C (暗所)

採取時期 pH 4 では処理 0、1、3、5、7、14、21、28 日後に、pH 7 では処理 0、1、3、7、10、14、21、30 日後に、pH 9 では処理 0、0.25、0.5、1、2、3、5、7 日後に試料を採取した。

分析方法 試料は直接、重量、pH 及び全放射活性を測定し、HPLC、LC/MS/MS、TLC、LSCなどを用いて分析に付した。

半減期の算定方法 加水分解率の算出には擬一次反応速度式  $[C] = [C]_0 e^{-kt}$  を適用し、これにより導かれた方程式  $t_{0.5} = \ln 2/k$  により半減期が求められた。

試験結果： 放射能の回収は 91.4 から 105.5% の範囲内であった (揮発性放射能を含まない)。

*erythro* 体、*threo* 体の分解の割合と程度の違いは小さく、有意であるとは見なされなかった。それゆえ LGC-42153 の *erythro* 体、*threo* 体の相互変換は加水分解に影響はないと考えられた。

フルセトスルフロンの加水分解半減期は pH 4, 7, 9 でそれぞれ 12.1, 69.1, 1.7 日であった。

表 1 pH 4 における加水分解生成物の分布 (処理放射能に対する割合 [%])

[ $\alpha$ -<sup>14</sup>C-Py]*erythro*-フルセトスルフロン

	日							
	0	1	3	5	7	14	21	28
フルセトスルフロン	97.5	91.6	82.4	65.1	62.4	39.3	26.7	20.6
合計	102.5	103.8	103.4	95.9	96.8	91.4	96.8	102.0

[ $\alpha$ -<sup>14</sup>C-Py]*threo*-フルセトスルフロン

	日							
	0	1	3	5	7	14	21	28
フルセトスルフロン	98.6	92.8	86.0	76.3	69.6	43.9	27.5	23.3
合計	102.5	103.9	105.5	102.3	100.8	96.2	96.8	95.0

[2-<sup>14</sup>C-Pm]*erythro*-フルセトスルフロン

	日							
	0	1	3	5	7	14	21	28
フルセトスルフロン	92.7	83.0	79.1	70.9	62.1	38.2	26.2	18.1
合計	101.1	103.6	102.0	101.5	98.8	100.5	93.5	101.1

本資料に記載された情報に係る権利及び内容の責任は石原産業株式会社にある。

表2 pH 7における加水分解生成物の分布(処理放射能に対する割合[%])

[ $\alpha$ -<sup>14</sup>C-Py] *erythro*-フルセトスルフロン

	日							
	0	1	3	7	10	14	21	30
フルセトスルフロン	91.0	89.0	87.2	83.9	84.2	79.7	73.2	65.3
合計	97.3	96.1	94.8	95.7	98.0	97.5	95.5	94.6

[ $\alpha$ -<sup>14</sup>C-Py] *threo*-フルセトスルフロン

	日							
	0	1	3	7	10	14	21	30
フルセトスルフロン	94.4	93.3	89.9	93.5	87.2	75.3	81.5	71.3
合計	96.6	96.5	94.6	100.6	96.8	97.0	101.2	94.2

[2-<sup>14</sup>C-Pm] *erythro*-フルセトスルフロン

	日							
	0	1	3	7	10	14	21	30
フルセトスルフロン	89.1	87.7	85.7	82.6	80.1	79.0	70.6	65.0
合計	94.8	93.6	92.7	93.2	94.8	95.1	91.4	91.9

- : 未検出

表3 pH9における加水分解生成物の分布(処理放射能に対する割合[%])

[ $\alpha$ -<sup>14</sup>C-Py] *erythro*-フルセトスルフロン

	日							
	0	0.25	0.5	1	2	3	5	7
フルセトスルフロン	87.8	76.6	67.9	55.0	33.9	21.6	9.5	7.1
合計	95.0	94.3	95.3	95.1	94.9	92.1	93.8	93.7

[ $\alpha$ -<sup>14</sup>C-Py] *threo*-フルセトスルフロン

	日							
	0	0.25	0.5	1	2	3	5	7
フルセトスルフロン	90.0	83.6	76.0	64.6	43.4	28.6	10.4	—
合計	93.9	93.2	93.9	93.1	94.1	95.0	92.2	93.2

[2-<sup>14</sup>C-Pm] *erythm*-フルセトスルフロン

	日							
	0	0.25	0.5	1	2	3	5	7
フルセトスルフロン	88.3	79.3	70.5	55.8	32.9	19.9	7.5	5.2
合計	95.2	95.1	95.9	93.9	95.4	94.9	94.2	94.5

—：未検出

表4 フルセトスルフロンの加水分解半減期

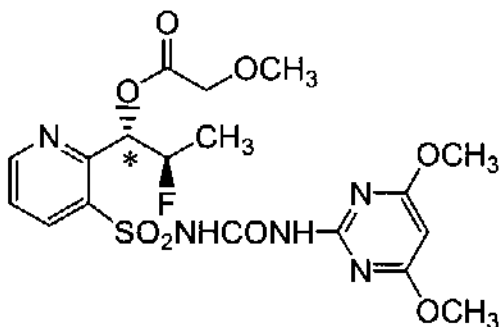
pH	半減期 (日)			
	[ $\alpha$ - <sup>14</sup> C-Py] <i>erythro</i> - フルセトスルフロン	[ $\alpha$ - <sup>14</sup> C-Py] <i>threo</i> - フルセトスルフロン	[2- <sup>14</sup> C-Pm] <i>erythro</i> - フルセトスルフロン	平均
4	12.1	12.6	11.7	12.1
7	65.7	75.8	66.6	69.1
9	1.8	1.6	1.6	1.7

図1 フルセトスルフロンの想定加水分解経路

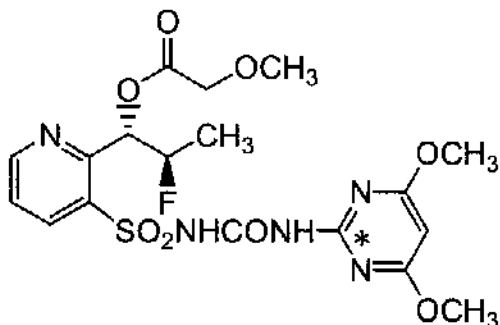
#### 9.4.2 フルセトスルフロンの自然水及び pH7 緩衝液中における光分解運命試験 (資料 No. M-4.2)

試験機関 Huntingdon Life Sciences Ltd.  
報告書作成年 2004 年 [GLP 対応]

##### 供試標識化合物



[ $\alpha$ -<sup>14</sup>C-Py]erythro-フルセトスルフロン



[2-<sup>14</sup>C-Pm]erythro-フルセトスルフロン

\* = <sup>14</sup>C 標識位置

標識位置 : [ $\alpha$ -<sup>14</sup>C-ピリジン]

[2-<sup>14</sup>C-ピリミジン]

バッチ No. :

比放射能 :

放射化学的純度 :

化学名 : *N*[(4,6-dimethoxy-2-pyrimidinyl)amino]carbonyl]-2-[2-fluoro-1-(methoxymethylcarbonyloxy)propyl]-3-pyridinesulfonamide

水溶解度 : 114 mg/L

##### 供試水溶液

pH7 緩衝液 正リン酸二水素ナトリウム水溶液 (1.56 g/900 mL) に 1M 水酸化ナトリウム水溶液を加えて pH 7 に調製し、水で 1000 mL に定容したものを使用した。使用前にはオートクレーブで滅菌し、pH が変化していないことを確認した。pH は 6.93~6.94 であった。

自然水 River Ouse, Godmanchester, Cambridgeshire, UK より、2003 年 8 月 28 日に採取したものを使用した。自然水は 0.212 mm の篩いに通した後 -4°C で保管し、使用前にオートクレーブで滅菌した。pH は 8.02~8.31 であった。

光 源 キセノンアーク光源光照射装置 (Suntest, Heraeus Equipment Ltd., Brentwood, Essex, UK)を用いた。特殊 UV ガラスフィルターを装着 (290 nm 未満の放射紫外線をカット)し、エネルギースペクトル分布は自然太陽光と類似した。平均光強度は 51.4 W/m<sup>2</sup> (波長範囲 300~400 nm)又は 51.5 W/m<sup>2</sup> (波長範囲 290~400 nm)であり、自然水又は pH 7 緩衝液における 7 日間の照射期間は北緯 35 度 (東京)春の太陽光の約 46 日、又は北緯 40 度夏の太陽光の 23 日に相当した。

試験方法：一定量の[<sup>14</sup>C]フルセトスルフロン標準溶液 (アセトニトリル溶液)に供試水溶液を加えて、50 mg/L 溶液を調製した。この溶液中のアセトニトリル濃度は 1% であった。この溶液の 20 mL ずつをホウケイ酸ガラス容器に分注し、キセノンランプ下に静置した。試験溶液の温度は 25±2°C に維持し、連続的に攪拌した。試験中の光照射は連続で実施した。また暗所対照区の試験溶液を同様に調製し、25±2°C 暗所に維持し、連続的に攪拌した。事前の予備試験で放射性揮発物の生成がみとめられなかつたため、本試験では放射性揮発物の捕集は行わなかった。試料は試験開始後、0, 12, 24, 36, 48, 96 及び 168 時間に採取し、分析に供した。

各試料は液体シンチレーションカウンター (LSC)で水溶液中の放射能量を測定し、また放射能検出器付高速液体クロマトグラフ (HPLC-RAD)を用いて分析した。光分解物は標準品とのクロマトグラフィー (HPLC 及び TLC)により同定した。フルセトスルフロンの分解速度定数、DT<sub>50</sub> 及び DT<sub>90</sub> は一次反応速度式を用いて計算した。

試験結果：pH 7 緩衝液においてフルセトスルフロンは、光照射区及び暗所対照区とも同様の速度で分解し、半減期 (DT<sub>50</sub>)は光照射区で 61.8 日 (北緯 35 度春の太陽光換算で 408.8 日、北緯 40 度夏の太陽光換算で 202.4 日)、暗所対照区で 55.8 日であった。

自然水においてフルセトスルフロンは分解し、7 日後には光照射区及び暗所対照区でそれぞれ処理放射能の 27.5~31.9% 及び 1.6~15.5% まで減衰した。光照射区と暗所対照区におけるフルセトスルフロンの残存量の相違は最終 2 採取ポイント (96 及び 168 時間後)において顕著であった。pH 7~9 の範囲ではフルセトスルフロンの加水分解性が極めて敏感なため、非緩衝性の自然水中では照射／インキュベーション中の僅かな pH の変動がフルセトスルフロンの残存量に影響したものと考えられた。従って、DT<sub>50</sub> の計算ではこれら最終 2 採取ポイントのデータを省いて計算した。DT<sub>50</sub> は光照射区で 4.1 日 (北緯 35 度春の太陽光換算で 27.4 日、北緯 40 度夏の太陽光換算で 13.6 日)、暗所対照区で 2.7 日であった。

フルセトスルフロンは pH 7 緩衝液中及び自然水中とも、光照射溶液中よりも非照射溶液中においてより速い分解速度を示したが、これは、フルセトスルフロンの加水分解速度が pH 7~9 の範囲で pH の影響を非常に受けやすいため (加水分解半減

本資料に記載された情報に係る権利及び内容の責任は石原産業株式会社にある。

期は 25°C、pH 7 で 66~76 H、pH 9 では 2 日未満)、インキュベーション期間中に生じる可能性のある極僅かな pH の変化により、溶液中のフルセトスルフロンの量に顕著な差が生じたためと考えられた。

試験期間を通じて、試料溶液中放射能の回収率は処理放射能の 94.7~104.7% であった。

**結 論 :** フルセトスルフロンの光照射区及び暗所対照区における分解速度はほぼ同等であり、フルセトスルフロンの試験溶液中における分解は非光分解性であった。従って、pH 7 緩衝液中でのフルセトスルフロンの光分解における量子収率はゼロであった。

表1. フルセトスルフロンの自然水、25°C、光照射下におけるDT<sub>50</sub>及びDT<sub>90</sub>値

	パラメーター	実験データ	北緯35度 春の太陽光換算	北緯40度 夏の太陽光換算
[α- <sup>14</sup> C-Py] <i>erythro</i> -フルセト スルフロン	分解速度定数	0.159538	0.024158	0.048759
	R <sup>2</sup>	0.9203	0.9205	0.9204
	DT <sub>50</sub> (日)	4.3	28.7	14.2
	DT <sub>90</sub> (日)	14.4	95.3	47.2
[2- <sup>14</sup> C-Pm] <i>erythro</i> -フルセト スルフロン	分解速度定数	0.174777	0.026464	0.053414
	R <sup>2</sup>	0.9821	0.9822	0.9822
	DT <sub>50</sub> (日)	4.0	26.2	13.0
	DT <sub>90</sub> (日)	13.2	87.0	43.1
全体*	分解速度定数	0.167158	0.025311	0.051087
	R <sup>2</sup>	0.9509	0.9510	0.9510
	DT <sub>50</sub> (日)	4.1	27.4	13.6
	DT <sub>90</sub> (日)	13.8	91.0	45.1

\* 全体の値は両データセットを用いて計算した値(個別の値の平均値ではない)

表2. フルセトスルフロンの自然水、25°C、暗所対照区におけるDT<sub>50</sub>及びDT<sub>90</sub>値

	パラメーター	実験データ	北緯35度 春の太陽光換算	北緯40度 夏の太陽光換算
[α- <sup>14</sup> C-Py] <i>erythro</i> -フルセト スルフロン	分解速度定数	0.255003		
	R <sup>2</sup>	0.9912		
	DT <sub>50</sub> (日)	2.7		
	DT <sub>90</sub> (日)	9.0		
[2- <sup>14</sup> C-Pm] <i>erythro</i> -フルセト スルフロン	分解速度定数	0.308245		
	R <sup>2</sup>	0.8446		
	DT <sub>50</sub> (日)	2.2		
	DT <sub>90</sub> (日)	7.5		
全体*	分解速度定数	0.253711		
	R <sup>2</sup>	0.9724		
	DT <sub>50</sub> (日)	2.7		
	DT <sub>90</sub> (日)	9.1		

\* 全体の値は両データセットを用いて計算した値(個別の値の平均値ではない)

表3. フルセトスルフロンのpH7緩衝液、25°C、光照射下におけるDT<sub>50</sub>及びDT<sub>90</sub>値

	パラメーター	実験データ	北緯35度 春の太陽光換算	北緯40度 夏の太陽光換算
[α- <sup>14</sup> C-Py] <i>erythro</i> -フルセト スルフロン	分解速度定数	0.010097	0.001527	0.003085
	R <sup>2</sup>	0.9947	0.9946	0.9946
	DT <sub>50</sub> (日)	68.6	453.8	224.7
	DT <sub>90</sub> (日)	228.0	1507.5	746.5
[2- <sup>14</sup> C-Pm] <i>erythro</i> -フルセト スルフロン	分解速度定数	0.012320	0.001864	0.003764
	R <sup>2</sup>	0.8563	0.8563	0.8564
	DT <sub>50</sub> (日)	56.3	371.9	184.2
	DT <sub>90</sub> (日)	186.9	1235.5	611.8
全体*	分解速度定数	0.011209	0.001696	0.003424
	R <sup>2</sup>	0.6892	0.6892	0.6892
	DT <sub>50</sub> (日)	61.8	408.8	202.4
	DT <sub>90</sub> (日)	205.4	1358.0	672.5

\* 全体の値は両データセットを用いて計算した値(個別の値の平均値ではない)

表4. フルセトスルフロンのpH7緩衝液、25°C、暗所対照区におけるDT<sub>50</sub>及びDT<sub>90</sub>値

	パラメーター	実験データ	北緯35度 春の太陽光換算	北緯40度 夏の太陽光換算
[α- <sup>14</sup> C-Py] <i>erythro</i> -フルセト スルフロン	分解速度定数	0.011976	X	
	R <sup>2</sup>	0.9186	X	
	DT <sub>50</sub> (日)	57.9	X	
	DT <sub>90</sub> (日)	192.3	X	
[2- <sup>14</sup> C-Pm] <i>erythro</i> -フルセト スルフロン	分解速度定数	0.012871	X	
	R <sup>2</sup>	0.9903	X	
	DT <sub>50</sub> (日)	53.9	X	
	DT <sub>90</sub> (日)	178.9	X	
全体*	分解速度定数	0.012423	X	
	R <sup>2</sup>	0.8476	X	
	DT <sub>50</sub> (日)	55.8	X	
	DT <sub>90</sub> (日)	185.3	X	

\* 全体の値は両データセットを用いて計算した値(個別の値の平均値ではない)

表5.  $[\alpha\text{-}^{14}\text{C-Py}]erythro$ -フルセトスルフロンの光分解における放射能の分布及び回収放射能

供試 水溶液	試験区	時間	フルセト スルフロン(A) (%)*				回収 放射能 (%)**
自然水	光照射区	0	92.6				100.3
		12	83.4				99.4
		24	73.3				102.0
		36	64.8				103.8
		48	56.2				102.3
		96	37.2				96.5
		168	31.9				97.7
	暗所 対照区	0	92.6				100.3
		12	78.9				99.5
		24	64.5				101.2
		36	55.5				104.7
		48	51.2				104.4
		96	29.5				98.8
		168	15.5				97.2
pH7 緩衝液	光照射区	0	95.1				98.3
		12	94.8				98.5
		24	94.0				100.5
		36	93.8				98.8
		48	93.6				97.5
		96	91.4				94.8
		168	88.7				99.3
	暗所 対照区	0	95.1				98.3
		12	95.2				99.7
		24	94.0				96.2
		36	91.5				99.4
		48	92.9				97.1
		96	90.5				98.7
		168	87.5				99.2

(%)\* 試料中放射能に対する%

(%)\*\* 処理放射能に対する%

— 該当せず

表 6. [2-<sup>14</sup>C-Pm]erythro-フルセトスルフロンの光分解における放射能の分布及び回収放射能

供試 水溶液	試験区	時間	フルセト スルフロン(A) (%)*				回収 放射能 (%)**
自然水	光照射区	0	91.2				99.4
		12	81.3				99.0
		24	71.6				97.8
		36	66.4				101.9
		48	60.2				99.4
		96	39.2				95.4
		168	27.5				94.7
	暗所 対照区	0	91.2				99.4
		12	77.1				98.0
		24	54.9				98.3
		36	51.3				102.0
		48	52.1				98.8
		96	11.7***				96.0
		168	1.6***				96.6
pH7 緩衝液	光照射区	0	93.5				100.1
		12	92.9				99.9
		24	92.2				99.6
		36	91.7				101.7
		48	89.1				98.2
		96	86.9				98.3
		168	86.4				99.0
	暗所 対照区	0	93.5				100.1
		12	92.6				101.4
		24	92.2				97.4
		36	91.3				100.6
		48	90.3				99.3
		96	88.4				99.9
		168	85.4				99.5

(%)\* 試料中放射能に対する%

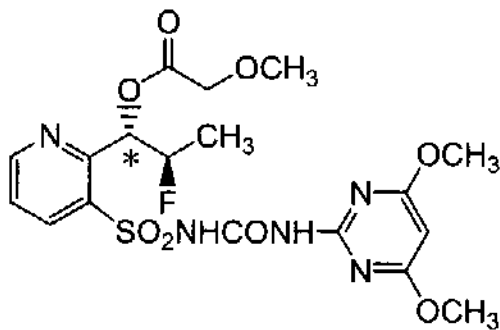
(%)\*\* 処理放射能に対する%

\*\*\* 半減期の計算に使用せず

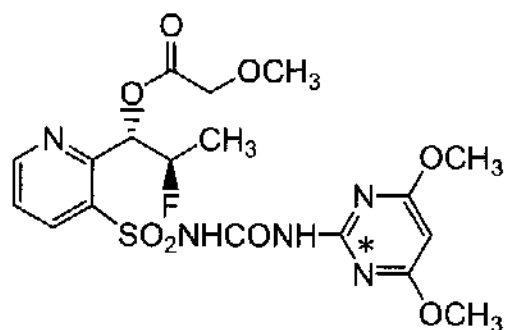
## 代謝分解のまとめ

フルセトスルフロンの動物、植物、土壤及び水中における代謝、分解、残留の要約は下記のとおりであり、代謝分解経路を 361 頁に、結果の概要を 362-367 頁に示した。

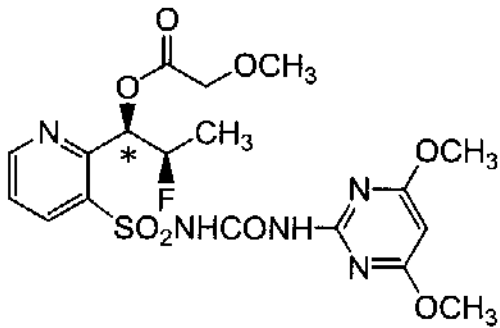
代謝試験には *erythro* 体フルセトスルフロンのピリジル環  $\alpha$  位の炭素を  $^{14}\text{C}$  で標識した [ $\alpha\text{-}^{14}\text{C-Py}]erythro$ -フルセトスルフロン及びピリミジン環 2 位の炭素を  $^{14}\text{C}$  で標識した [ $2\text{-}^{14}\text{C-Pm}]erythro$ -フルセトスルフロン、並びに *threo* 体フルセトスルフロンのピリジル環  $\alpha$  位の炭素を  $^{14}\text{C}$  で標識した [ $\alpha\text{-}^{14}\text{C-Py}]threo$ -フルセトスルフロンをそれぞれ用いた。



[ $\alpha\text{-}^{14}\text{C-Py}]erythro$ -フルセトスルフロン



[ $2\text{-}^{14}\text{C-Pm}]erythro$ -フルセトスルフロン



[ $\alpha\text{-}^{14}\text{C-Py}]threo$ -フルセトスルフロン

## 動物代謝

Han Wistar 系雌雄ラットを用いて以下の試験を実施した。

1)薬物動態 [ $\alpha\text{-Py}]erythro$  体の 5 及び 150 mg/kg 用量群及び [ $\alpha\text{-Py}]threo$  体の 5 mg/kg 用量群における投与後 120 時間までの血液及び血漿中放射能濃度の経時的推移を調べた。

2)排泄バランス 予備試験では [ $\alpha\text{-Py}]erythro$  体及び [ $2\text{-Pm}]erythro$  体のそれぞれ 5 mg/kg 用量群における投与後 120 時間までの尿、糞及び呼気中排泄率を測定した。本試験では [ $\alpha\text{-Py}]erythro$  体の 5 及び 150 mg/kg 用量群及び [ $\alpha\text{-Py}]threo$  体の 5 mg/kg 用量群における投与後 120 時間までの尿及び糞中排泄率、及び 120 時間後の各組織中の放射能濃度を測定した。

- 3)組織分布 [ $\alpha$ -Py]erythro 体の 5 及び 150 mg/kg 用量群における投与後 120 時間までの各組織中の放射能濃度を測定した。また、[ $\alpha$ -Py]erythro 体の 5 mg/kg 用量群における投与後 120 時間までの全身オートラジオグラフを行った。
- 4)胆汁排泄試験 [ $\alpha$ -Py]erythro 体の 5 及び 150 mg/kg 用量群における投与後 48 時間までの胆汁、尿及び糞中排泄率を測定した。また、48 時間後の肝臓、消化管、カーカス等の放射能を測定し、吸収率を算出した。
- 5)代謝物同定 排泄バランス試験で得られた尿、糞、胆汁排泄試験で得られた胆汁及び組織分布試験で得られた血漿、肝臓、腎臓、精巣等の試料を用いて代謝物を調べた。

以上の試験結果に基づき、フルセトスルフロンのラットにおける「吸収」「排泄」「分布」「代謝」について下記のようにまとめた。

**吸収** 血漿中の放射能濃度の Tmax は全ての場合において 30 分であり、Cmax は雌よりも雄において少し高かった。[ $\alpha$ -<sup>14</sup>C-Py]erythro 体を投与した場合、低用量群における Cmax は雄で 7.666 µg-eq./g、雌で 6.188 µg-eq./g で、高用量群では雄で 86.52 µg-eq./g、雌で 84.03 µg-eq./g であった。[ $\alpha$ -<sup>14</sup>C-Py]threo 体の低用量における Cmax は erythro 体と比較してやや低く、雄で 7.101 µg-eq./g、雌で 5.295 µg-eq./g であった。全てのグループにおいて血漿中濃度は最高濃度に達した後、時間と共に二相性を示して減衰した。

血液中の放射能濃度の Tmax は高用量の雌で投与後 1 時間だったが、低用量及び高用量の雄では 30 分であった。血漿の場合と同様に Cmax は雌よりも雄で少し高く、低用量においては雄で 4.512 µg-eq./g、雌で 3.275 µg-eq./g であった。高用量では、雄で 50.45 µg-eq./g、雌で 47.69 µg-eq./g であった。血液中濃度は最高濃度に達した後時間と共に減衰した。

投与後 48 時間までの吸収率(胆汁、尿、ケージ洗液、肝臓及びカーカスの値の合計)は、低投与群で 81.45~81.47%、高投与群では 70.24~73.02% であった(資料 No. M-1.1)。

**排泄** 低用量での放射能の回収は 96.88~99.80% であり、主要な排泄経路は尿であった。尿への排泄量は 65.51~74.62%、糞への排泄量は 22.45~32.17% であり、そのほとんどが 24 時間(尿)又は 48 時間(糞)までに排泄された。投与後 120 時間後の組織及びカーカス中に残存する放射能はそれぞれ 0.03% 以下及び 0.27% 以下であった。放射性標識体の違いで、排泄パターンに大きな違いはなかった。高用量での放射能の回収は 94.96~95.67% であり、低用量と比較して糞への排泄割合が多かった。尿への排泄量は 46.61~60.22%、糞への排泄量は 34.69~48.98% であり、そのほとんどが 24 時間(尿)又は 48 時間(糞)までに排泄された。投与 120 時間後の組織及びカーカス中に残存する放射能はそれぞれ 0.01% 及び 0.07% 以下であった。

胆汁への排泄率は、48時間後までに低投与群の雄で9.95%、雌で8.15%、高投与群の雄で10.28%、雌で11.04%であり、両投与レベルとも雌雄間に顕著な差は認められなかった（資料No.M-1.1）。

**分布** 放射能の組織分布は、雌雄の動物において概ね同様であった。低用量群では、T<sub>max</sub>で主に消化管及び内容物、肝臓及び腎臓で高い放射能濃度を示した。組織中濃度は時間と共に急速に減少し、24時間で消化管を除く全ての組織で0.1 μg-eq./g未満となり、120時間後には検出限界以下となった。放射能濃度の組織／血漿の比は、消化管、腎臓及び肝臓を除くほとんどの組織及び採取時点で1未満であった。

高用量群では、T<sub>max</sub>で消化管及び内容物、肝臓、腎臓及び雄の精巣で高い放射能濃度を示した。組織中の放射能濃度は時間と共に急速に減少し、24時間で消化管及び雌の肝臓を除く全ての組織で1 μg-eq./g未満となった。投与後120時間においては、ほとんどの組織において検出限界以下となった。放射能濃度の組織／血漿の比は、消化管、腎臓、肝臓、雄の骨髄及び精巣を除いて1未満であった。

投与後30分の全身オートラジオグラフィでは、放射能は全ての組織及び器官にわたって分布しており、特に消化管、膀胱及び心臓中の血液に高いレベルで存在していたが、120時間後では全身を通じて視覚的にはほとんど検出不能となった（資料No.M-1.1）。

#### 代謝

### 植物代謝

[<sup>14</sup>C]フルセトスルフロンを、40g a.i./ha (茎葉処理)又は30 g a.i./ha (土壤処理)の割合で、4～6葉期の水稻に1回処理を行い、茎葉処理区では処理直後、7日後、中間期(118～142日後)及び収穫期(172～188日後)に、土壤処理区では処理7日後、中間期(112～139日後)及び収穫期(158～174日後)に葉部、根部、藁、玄米等の採取を行った。

茎葉処理区における葉の総残留放射能は、処理直後で1.29～2.12 ppm、処理7日後で1.12～1.31 ppm、中間期で0.037～0.039 ppmであった。また収穫期の玄米、粉殻、藁及び根部においてはそれぞれ0.004 ppm以下、0.006～0.015 ppm、0.118～0.226 ppm及び0.017～0.023 ppmであった。

茎葉処理区における葉部及び藁中の主要成分はフルセトスルフロン(A)で、処理直後に83.4～83.7%TRR(1.08～1.77 ppm)が検出され、収穫期には48.7～60.8%TRR(0.072～0.115 ppm)まで減少した。

土壤処理区における葉の総残留放射能は、処理7日後で0.025～0.054 ppm、中間期で0.006～0.023 ppmであった。また収穫期の玄米、粉殻、藁及び根部においてはそれぞれ0.004 ppm以下、0.005～0.015 ppm、0.032～0.108 ppm及び0.030～0.039 ppm以下であった。

### 土壤代謝、土壤吸着及び水中運動

[<sup>14</sup>C]フルセトスルフロンを用いて好気的湛水土壤代謝、好気的土壤代謝、土壤吸着、加水分解及び水中光分解の各試験を実施した。

#### 好気的湛水土壤代謝

埴壤土(三重水田土壤)を用いて、処理濃度 0.03 ppm、温度 25±2°C、湛水条件下におけるフルセトスルフロンの土壤代謝を調べた。好気的湛水条件下でフルセトスルフロン(A)は速やかに分解し、水層における半減期は 2.4~3.3 日、系全体(水層+土壤)における半減期は 2.2~3.1 日であった。

結合性残渣は処理 180 日後までに処理量の 30.8~60.3%まで増加した。

#### 好気的土壤代謝

埴壤土(三重畑土壤)を用いて、処理濃度 0.2 ppm、温度 25±2°C、好気的条件下におけるフルセトスルフロンの土壤代謝を調べた。その結果、フルセトスルフロン(A)の半減期は 0.085~0.102 日で速やかに分解した。

### 土壤吸着

予備試験において 1 土壌を用い、土壌：水比、吸着及び脱着平衡時間測定した。次いで本試験において、全ての土壌について土壌吸着及び脱着に及ぼす濃度の影響を調べるために Freundlich の吸着及び脱着等温式を測定した。その結果、フルセトスルフロンの各土壌の吸着過程における、 $K_{Foc}$  値 (有機炭素吸着係数) は 2.67~16.6 と低い値を示し、吸着が小さいことを示した。脱着過程における  $K_{Foc}$  値 (有機炭素脱着係数) も 5.44~20.0 と同様な値を示し、吸着は弱く可逆的であった。*erythro* 体と *threo* 体の  $K_d$  値は近似しており土壌吸着性は同等であった (資料 No. M-3.3)。

### 加水分解

処理濃度 50 mg/L、温度  $25 \pm 1^\circ\text{C}$  におけるフルセトスルフロンの pH 4、7 及び 9 の滅菌緩衝液中における加水分解性を調べた。フルセトスルフロンの加水分解半減期は pH 4、7 及び 9 でそれぞれ 12.1 H、69.1 日及び 1.7 日であった。

**光分解** 処理濃度 50 mg/L、温度  $25 \pm 2^\circ\text{C}$  条件下で、フルセトスルフロンの pH 7 滅菌緩衝液及び滅菌自然水中における光分解性をキセノンアークランプ照射により調べた。pH 7 緩衝液中におけるフルセトスルフロンの半減期は、光照射区で 61.8 日 (北緯 35 度春の太陽光換算で 408.8 日、北緯 40 度夏の太陽光換算で 202.4 H)、暗所対照区で 55.8 日であった。また、自然水中におけるフルセトスルフロンの半減期は光照射区で 4.1 日 (北緯 35 度春の太陽光換算で 27.4 日、北緯 40 度夏の太陽光換算で 13.6 H)、暗所対照区で 2.7 日であった。フルセトスルフロンの光照射区及び暗所対照区における分解速度はほぼ同等であり、フルセトスルフロンの試験溶液中における分解は非光分解性であった。

本資料に記載された情報に係る権利及び内容の責任は石原産業株式会社にある。

フルセトスルフロンの動植物等における想定代謝分解経路図

本資料に記載された情報に係る権利及び内容の責任は石原産業株式会社にある。

### 代謝物及び変化生成物の分布例

代謝物		A	アセトスルフェン						合計
ラット ① [ $\alpha^{14}\text{C}$ -Py] erythro	尿	% <sup>11</sup> )	0.1						
	糞	% <sup>11</sup> )	0.2						
	胆汁	% <sup>11</sup> )	nd						
	血漿	% <sup>21</sup> )	1.2						
	腎臓	% <sup>21</sup> )	nd						
	肝臓	% <sup>21</sup> )	0.9						
	精巢	% <sup>21</sup> )	nd						
	尿	% <sup>11</sup> )	0.3						
	糞	% <sup>11</sup> )	0.1						
	胆汁	% <sup>11</sup> )	nd						
雄	血漿	% <sup>21</sup> )	1.9						
	腎臓	% <sup>21</sup> )	nd						
	肝臓	% <sup>21</sup> )	1.4						
	精巢	% <sup>21</sup> )	—						
	尿	% <sup>11</sup> )	0.1						
雌	糞	% <sup>11</sup> )	9.1						
	胆汁	% <sup>11</sup> )	nd						
	血漿	% <sup>21</sup> )	4.9						
	腎臓	% <sup>21</sup> )	nd						
	肝臓	% <sup>21</sup> )	3.6						
ラット ② [ $\alpha^{14}\text{C}$ -Py] erythro	精巢	% <sup>21</sup> )	5.9						
	尿	% <sup>11</sup> )	0.1						
	糞	% <sup>11</sup> )	17.1						
	胆汁	% <sup>11</sup> )	nd						
	血漿	% <sup>21</sup> )	4.2						
雄	腎臓	% <sup>21</sup> )	nd						
	肝臓	% <sup>21</sup> )	2.7						
	精巢	% <sup>21</sup> )	—						

本資料に記載された情報に係る権利及び内容の責任は石原産業株式会社にある。

動物	代謝分解物	A		合計
		产地別(% <sup>14</sup> C-Py)	部位別(% <sup>14</sup> C-Py)	
動物 [ $\alpha\text{-}^{14}\text{C-Py}$ ] <i>threo</i>	ラット(5mg/kg)	尿 糞	尿 糞	0.1 <0.1
	水稻	直後 7日後	直後 中間期	83.7 80.0
	[ $\alpha\text{-}^{14}\text{C-Py}$ ] <i>erythro</i>	葉	ppm ppm	1.08 0.937
	茎葉處理	葉	ppm	54.7
	水稻	収穫期	ppm	0.021
	[ $\alpha\text{-}^{14}\text{C-Py}$ ] <i>erythro</i>	葉	ppm	48.7
	茎葉處理	葉	ppm	0.110
	水稻	中間期	ppm	0.9
	[ $\alpha\text{-}^{14}\text{C-Py}$ ] <i>erythro</i>	根	ppm	<0.001
	茎葉處理	根	ppm	2.2
植物 [ $\alpha\text{-}^{14}\text{C-Pm}$ ] <i>erythro</i>	水稲	直後 7日後	直後 中間期	83.5 53.2
	茎葉處理	葉	ppm ppm	1.77 1.03
	水稲	収穫期	ppm	60.8
	[ $\alpha\text{-}^{14}\text{C-Pm}$ ] <i>erythro</i>	葉	ppm	0.072
	茎葉處理	根	ppm	6.5
	水稲	中間期	ppm	0.001
	[ $\alpha\text{-}^{14}\text{C-Pm}$ ] <i>threo</i>	根	ppm	nd
	茎葉處理	葉	ppm	nd
	水稲	7日後	直後 収穫期	83.4 60.2
	[ $\alpha\text{-}^{14}\text{C-Py}$ ] <i>threo</i>	葉	ppm	0.928 0.115
	茎葉處理	根	ppm	0.9
	水稲	収穫期	ppm	<0.001

本資料に記載された情報に係る権利及び内容の責任は石原産業株式会社にある。

		代謝分解物		A 7日後(7E)												合計	
		葉	7日後 % <sup>2)</sup>	10.9	7日後 ppm	0.006											
水稻 [ $\alpha$ - <sup>14</sup> C-Py] <i>erythro</i> 土壤處理	葉	中間期	% <sup>2)</sup>	3.1	ppm	0.001											
	茎	収穫期	% <sup>2)</sup>	2.4	ppm	0.003											
	根	中間期	% <sup>2)</sup>	0.9	ppm	<0.001											
	根	収穫期	% <sup>2)</sup>	nd	ppm												
植物 水稻 [2- <sup>14</sup> C-Pri] <i>erythro</i> 土壤處理	葉	7日後	% <sup>2)</sup>	21.6	ppm	0.005											
	茎	収穫期	% <sup>2)</sup>	3.3	ppm	0.001											
	根	中間期	% <sup>2)</sup>	nd	ppm												
	根	収穫期	% <sup>2)</sup>	nd	ppm												
水稻 [ $\alpha$ - <sup>14</sup> C-Py] <i>threo</i> 土壤處理	葉	7日後	% <sup>2)</sup>	11.2	ppm	0.005											
	茎	収穫期	% <sup>2)</sup>	4.0	ppm	0.003											
	根	中間期	% <sup>2)</sup>	nd	ppm												
	根	収穫期	% <sup>2)</sup>	nd	ppm												
好氣 的水 [ $\alpha$ - <sup>14</sup> C-Py] <i>erythro</i> 土壤處理	0日後	% <sup>3)</sup>	90.2														
	7日後	% <sup>3)</sup>	14.1														
	30日後	% <sup>3)</sup>	0.1														
	180日後	% <sup>3)</sup>	0.5														
好氣 的水 [2- <sup>14</sup> C-Pri] <i>erythro</i> 土壤處理	0日後	% <sup>3)</sup>	90.2														
	7日後	% <sup>3)</sup>	15.1														
	30日後	% <sup>3)</sup>	nd														
	180日後	% <sup>3)</sup>	nd														
好氣 的水 [ $\alpha$ - <sup>14</sup> C-Py] <i>threo</i> 土壤處理	0日後	% <sup>3)</sup>	90.9														
	7日後	% <sup>3)</sup>	12.6														
	30日後	% <sup>3)</sup>	0.2														
	180日後	% <sup>3)</sup>	0.3														

本資料に記載された情報に係る権利及び内容の責任は石原産業株式会社にある。

		代謝分解物	A	7日後 <sup>14C-Py</sup>	7日後 <sup>14C-Pm</sup>	合計
土壤	好気的烟 [( $\alpha$ - <sup>14</sup> C-Py) erythro]	0 日後 <sup>%3</sup>	93.2			
		3 日後 <sup>%3</sup>	0.8			
		60 日後 <sup>%3</sup>	0.9			
		365 日後 <sup>%3</sup>	0.4			
		0 日後 <sup>%3</sup>	95.7			
	好気的烟 [(2- <sup>14</sup> C-Pm) erythro]	3 日後 <sup>%3</sup>	1.6			
		60 日後 <sup>%3</sup>	<0.1			
		365 日後 <sup>%3</sup>	<0.1			
		0 日後 <sup>%3</sup>	90.1			
		3 日後 <sup>%3</sup>	2.3			
pH4 [( $\alpha$ - <sup>14</sup> C-Py) threo]	60 日後 <sup>%3</sup>	0.8				
		365 日後 <sup>%3</sup>	0.3			
		0 日 <sup>%3</sup>	97.5			
		7 日 <sup>%3</sup>	62.4			
		28 日 <sup>%3</sup>	20.6			
	pH4 [(2- <sup>14</sup> C-Pm) erythro]	0 日 <sup>%3</sup>	92.7			
		7 日 <sup>%3</sup>	62.1			
		28 日 <sup>%3</sup>	18.1			
		0 日 <sup>%3</sup>	98.6			
		7 日 <sup>%3</sup>	69.6			
加水分解	pH4 [( $\alpha$ - <sup>14</sup> C-Py) threo]	28 日 <sup>%3</sup>	23.3			
		0 日 <sup>%3</sup>	91.0			
		7 日 <sup>%3</sup>	83.9			
		30 日 <sup>%3</sup>	65.3			
		0 日 <sup>%3</sup>	89.1			
	pH7 [(2- <sup>14</sup> C-Pm) erythro]	7 日 <sup>%3</sup>	82.6			
		30 日 <sup>%3</sup>	65.0			
		0 日 <sup>%3</sup>	94.4			
		7 日 <sup>%3</sup>	93.5			
		30 日 <sup>%3</sup>	71.3			

本資料に記載された情報に係る権利及び内容の責任は石原産業株式会社にある。

		代謝分解物		A	合計
		pH9	0 日 [%]	87.6	
加水 分解	[ $\alpha$ - <sup>14</sup> C-Py] <i>erythro</i>	2 日 [%]	33.9		
		7 日 [%]	7.1		
	[ $\beta$ - <sup>14</sup> C-Pm] <i>erythro</i>	0 日 [%]	88.3		
		2 日 [%]	32.9		
		7 日 [%]	5.2		
	[ $\alpha$ - <sup>14</sup> C-Py] <i>threo</i>	0 日 [%]	90.0		
		2 日 [%]	43.4		
		7 日 [%]	nd		
		0 時間 [%]	92.6		
		12 時間 [%]	83.4		
		48 時間 [%]	56.2		
自然水 [ $\alpha$ - <sup>14</sup> C-Py] <i>erythro</i>	明	168 時間 [%]	31.9		
		0 時間 [%]	92.6		
		12 時間 [%]	78.9		
		48 時間 [%]	51.2		
		168 時間 [%]	15.5		
		0 時間 [%]	91.2		
		12 時間 [%]	81.3		
		48 時間 [%]	60.2		
		168 時間 [%]	27.5		
		0 時間 [%]	91.2		
		12 時間 [%]	77.1		
光 分 解	暗	48 時間 [%]	52.1		
		168 時間 [%]	1.6		

本資料に記載された情報に係る権利及び内容の責任は石原産業株式会社にある。

試験条件	代謝分解物	A			合計
		0 時間	12 時間	48 時間	
光 分 解	pH7 緩衝液 [ $\alpha$ - <sup>14</sup> C-Py] <i>erythro</i>	明	95.1	94.8	
		12 時間	% <sup>a</sup> 2)	% <sup>a</sup> 2)	
		48 時間	% <sup>a</sup> 2)	93.6	
		168 時間	% <sup>a</sup> 2)	88.7	
		明			
		0 時間	% <sup>a</sup> 2)	95.1	
	pH7 緩衝液 [ $\alpha$ - <sup>14</sup> C-Py] <i>erythro</i>	暗	95.2	95.2	
		12 時間	% <sup>a</sup> 2)	95.2	
		48 時間	% <sup>a</sup> 2)	92.9	
		168 時間	% <sup>a</sup> 2)	87.5	
		明			
		0 時間	% <sup>a</sup> 2)	93.5	
pH7 緩衝液 [ $\beta$ - <sup>14</sup> C-Pm] <i>erythro</i>	明	92.9	92.9		
	12 時間	% <sup>a</sup> 2)	89.1		
	48 時間	% <sup>a</sup> 2)	86.4		
	168 時間	% <sup>a</sup> 2)	93.5		
	明				
	0 時間	% <sup>a</sup> 2)	92.6		
pH7 緩衝液 [ $\beta$ - <sup>14</sup> C-Pm] <i>erythro</i>	暗	90.3			
	12 時間	% <sup>a</sup> 2)			
	48 時間	% <sup>a</sup> 2)			
	暗	85.4			
	168 時間	% <sup>a</sup> 2)			

- 1) : 授与放射能に対する%  
 2) : 試料中放射能に対する%  
 3) : 処理放射能に対する%  
 4) : 推定代謝物（硫酸鉄合体を含む）  
 5) : その他 = HPLC 分析における極微量ピーカーの総量及びアルカリ抽出物を含む  
 6) : 偶発性有機物を含む。CO<sub>2</sub>は nd  
 nd : 検出されず  
 - : 該当せず

本資料に記載された情報に係る権利及び内容の責任は石原産業株式会社にある。

[附] 開発年表

フルセトスルフロンの開発年表